

UNIVERSIDADE FEDERAL FLUMINENSE
FACULDADE DE VETERINÁRIA
PROGRAMA DE PÓS-GRADUAÇÃO EM MEDICINA VETERINÁRIA
(CLÍNICA E REPRODUÇÃO ANIMAL)

PAULO VICTOR DOS SANTOS PEREIRA

IMPACTO DA PRESENÇA DE *LEPTOSPIRA* spp. NO FLUIDO FOLICULAR DE
VACAS SOBRE A COMPETÊNCIA AO DESENVOLVIMENTO DO OÓCITO

NITERÓI, RJ
2023

Ficha catalográfica automática - SDC/BFV
Gerada com informações fornecidas pelo autor

P436i Pereira, Paulo Victor dos Santos
IMPACTO DA PRESENÇA DE LEPTOSPIRA spp. NO FLUIDO FOLICULAR
DE VACAS SOBRE A COMPETÊNCIA AO DESENVOLVIMENTO DO OÓCITO /
Paulo Victor dos Santos Pereira. - 2023.
86 f.: il.

Orientador: Joanna Maria Gonçalves de Souza-Fabjan.
Coorientador: Maria Isabel Nogueira Di Azevedo.
Dissertação (mestrado)-Universidade Federal Fluminense,
Faculdade de Veterinária, Niterói, 2023.

1. Leptospirose. 2. Produção IN VITRO de Embriões. 3. OVUM
PICK-UP. 4. Caracterização molecular. 5. Produção
intelectual. I. Souza-Fabjan, Joanna Maria Gonçalves de,
orientadora. II. Di Azevedo, Maria Isabel Nogueira,
coorientadora. III. Universidade Federal Fluminense. Faculdade
de Veterinária. IV. Título.

CDD - XXX

PAULO VICTOR DOS SANTOS PEREIRA

IMPACTO DA PRESENÇA DE *LEPTOSPIRA* spp. NO FLUIDO FOLICULAR DE
VACAS SOBRE A COMPETÊNCIA AO DESENVOLVIMENTO DO OÓCITO

Dissertação apresentada ao Programa de Pós-Graduação em Medicina Veterinária (Clínica e Reprodução Animal) da Universidade Federal Fluminense, como requisito parcial para aprovação a obtenção do título de Mestre em Medicina Veterinária.

Área de Concentração: Clínica e Reprodução Animal.

Orientadora:

Prof^a. Dr^a. Joanna Maria Gonçalves de Souza-Fabjan

Coorientadora: Prof^a. Dr^a. Maria Isabel Nogueira Di Azevedo

NITERÓI, RJ

2023

PAULO VICTOR DOS SANTOS PEREIRA

**IMPACTO DA PRESENÇA DE *LEPTOSPIRA* spp. NO FLUIDO FOLICULAR DE
VACAS SOBRE A COMPETÊNCIA AO DESENVOLVIMENTO DO OÓCITO**

Dissertação apresentada ao Programa de Pós-Graduação em Medicina Veterinária (Clínica e Reprodução Animal) da Universidade Federal Fluminense, como requisito parcial para aprovação a obtenção do título de Mestre em Medicina Veterinária.

Área de Concentração: Clínica e Reprodução Animal.

Aprovado em 16 de fevereiro de 2023

BANCA EXAMINADORA

Prof^a. Dr^a. Joanna Gonçalves de Souza-Fabjan - UFF
Orientadora

Dr. Gustavo Desire Antunes Gastal - INIA

Prof. Dr. Rinaldo Aparecido Mota - UFRPE

Niterói, RJ

2023

À memória de Geraldo Gomes Pereira.

AGRADECIMENTOS

À minha família, em especial aos meus pais, Silvana e Paulo Sérgio, pelo apoio fornecido durante todos esses anos e por ter tornado esses últimos dois anos possíveis. Ao meu avô Geraldo, que apesar de não compreender muito bem o que eu fazia, sempre teve orgulho do que me tornei. À minha namorada Júlia, pela compreensão durante o mestrado e todo suporte emocional nessa caminhada.

A todos os meus irmãos de outras espécies que já passaram pela minha vida, em especial Pretinha e Falcão. À Pretinha, por ter estado literalmente junto de mim na maior parte do meu processo de escrita, e por ter me aturado ensaiar sozinho em voz alta todas as apresentações desses últimos anos. Ao Falcão, por ter passado a sua vida inteira comigo e por tudo que vivemos juntos. Obrigado por tudo.

Gostaria de agradecer à Joanna pela confiança depositada em mim para executar esse projeto e por toda a ajuda fornecida durante esses anos. Creio que nenhum outro projeto teria tanto a minha cara como o “Emergentes” teve, e por isso eu sou grato.

À Isabel agradeço por ter aceitado ser a minha coorientadora, pela ajuda na execução dos experimentos e na escrita dos artigos, assim como ideias sempre relevantes.

Ao Prof. Walter, pela oportunidade que me foi oferecida lá em 2016, quando eu não sabia nem a diferença entre uma bactéria Gram positiva e Gram negativa. O Laboratório de Bacteriologia Veterinária me ensinou, não só a parte científica, mas também a ser mais organizado e responsável.

À Ana Paula, obrigado pela convivência no LaBV, por todos os ensinamentos e por ter feito parte da minha trajetória até agora.

Ao Gabriel, muito obrigado por ter me dado o voto de confiança com a minha primeira bolsa de “ic”, que foi o pontapé inicial nisso tudo.

Ao Arashiro, por toda a ajuda desde a época da graduação coletando urina de vacas até hoje, sendo fundamental para a execução desse projeto.

Ao Dr. Rodolfo Ungerfeld e Paulo Sérgio Rangel, por todas as ideias e socorro estatístico nas horas de dificuldade.

As amizades construídas durante a graduação, especialmente a Panela.

Aos colegas que fiz no GEPECO e LaBV durante a graduação, especialmente à Thaís, por todo o conhecimento e amizade.

A todos os colegas e amigos do LPMPIVE, em especial à Nathalia pela ajuda nas primeiras coletas, que tornaram tudo isso possível. Ao Lucas, por todos os ensinamentos e ideias durantes esses anos. À Ana Maia, por toda a ajuda com a parte ética deste mestrado.

Aos amigos que encontrei ao longo do caminho.

A todas as empresas e profissionais que aceitaram participar deste projeto e que me ajudaram nas coletas das amostras e dos dados.

A todos os cientistas e profissionais da saúde que participaram no combate à pandemia de COVID-19.

As demais pessoas que mesmo sem saber, influenciaram a minha jornada durante todos esses anos.

À camarada Alexandra Elbakyan, pela luta para que o conhecimento seja acessível a todos.

A agência de fomento CAPES (código 001) pela minha bolsa durante o primeiro ano de mestrado e a FAPERJ pela verba para a execução deste projeto e pela bolsa de mestrado nota 10.

Em algum lugar, alguma coisa incrível está esperando para ser descoberta.

Carl Sagan

RESUMO

Apesar do notório envolvimento da leptospirose na morte embrionária precoce em bovinos, a relação entre infecção por *Leptospira* e falha reprodutiva, bem como os mecanismos que levam a ela, ainda não foram estabelecidos. Com base nisso, o presente estudo teve como objetivo determinar o efeito da infecção natural por *Leptospira* spp. na competência ao desenvolvimento do oócito e eficiência global da produção *in vitro* de embriões bovinos (PIVE). Foram utilizadas um total de 251 vacas leiteiras, mestiças e multíparas para a detecção de DNA de *Leptospira* spp., sendo 244 destas utilizadas na PIVE. Essas fêmeas eram pertencentes a 20 fazendas diferentes e regularmente eram submetidas a rotina comercial de PIVE. Foi investigada a presença de leptospiras no fluido folicular (FF) através da técnica de Reação em Cadeia da Polimerase (PCR), e realizada caracterização molecular nas amostras positivas por meio de sequenciamento e análise filogenética. Esses resultados foram então associados com a qualidade dos oócitos e a sua competência ao desenvolvimento até o estágio de embrião com o intuito de inferir se este microrganismo tem efeito sob a eficiência desta biotécnica reprodutiva. Foi possível detectar a bactéria em 27% amostras coletadas. Destas, nove estirpes foram identificadas, todas como *L. interrogans* pertencentes ao sorogrupo Sejroe. Destaca-se que 65% das fazendas tinham pelo menos uma vaca positiva para *Leptospira* no rebanho. Apesar da morfologia dos complexos *cumulus*-oócito e a sua maturação nuclear não ter sido influenciada pela presença de *Leptospira* spp., essa bactéria foi capaz de diminuir a competência ao desenvolvimento do oócito, diminuindo a eficiência da técnica de produção *in vitro* de embriões. Ainda é preciso estabelecer se o efeito causado por *Leptospira* spp. é direto, indireto ou ambos; isso irá auxiliar na implementação de medidas de controle específicas.

Palavras-chave: Leptospirose. PIVE. Ovum Pick-up. Caracterização molecular. Bovinos.

ABSTRACT

Despite the notorious involvement of leptospirosis in early embryonic death in cattle, the relationship between *Leptospira* infection and reproductive failure, as well as the mechanisms that lead to it, have not yet been established. Based on this, the present study aimed to determine the effect of natural infection by *Leptospira* spp. on competence to oocyte development and overall efficiency of *in vitro* production of bovine embryos (IVEP). A total of 251 crossbred and multiparous dairy cows were used for the detection of *Leptospira* spp. DNA, 244 of which were used in IVEP. These females belonged to 20 different farms and were regularly submitted to commercial IVEP routine. The presence of leptospires in follicular fluid (FF) was investigated using the Polymerase Chain Reaction (PCR) technique, and molecular characterization was carried out in positive samples through sequencing and phylogenetic analysis. These results were then associated with the quality of the oocytes and their development competence up to the embryo stage in order to infer whether this microorganism has an effect on the efficiency of this reproductive biotechnology. It was possible to detect the bacteria in 27% of the collected samples. Of these, nine strains were identified, all as *L. interrogans* belonging to serogroup Sejroe. It is noteworthy that 65% of the farms had at least one positive cow for *Leptospira* in the herd. Although the morphology of COCs and their nuclear evolution were not influenced by the presence of *Leptospira* spp., this bacterium was able to reduce the competence for oocyte development, decreasing the efficiency of the IVEP technique. It remains to be established whether the effect caused by *Leptospira* spp. is direct, indirect, or both; this will assist in the implementation of specific control measures.

Key words: Leptospirosis. IVEP. Ovum Pick-up. molecular characterization. Bovines.

SUMÁRIO

1. INTRODUÇÃO, p. 18
2. FUNDAMENTAÇÃO TEÓRICA, p. 20
 - 2.1 *LEPTOSPIRA* E LEPTOSPIROSE, p. 20
 - 2.2 LEPTOSPIROSE BOVINA, p. 21
 - 2.3 *LEPTOSPIRA* spp. NO TRATO GENITAL E GAMETAS DE FÊMEAS BOVINAS, p. 24
 - 2.4 MÉTODOS DE DIAGNÓSTICO EM LEPTOSPIROSE BOVINA, p. 27
 - 2.5 TRATAMENTO DE GAMETAS E EMBRIÕES, p. 28
 - 2.6 PRODUÇÃO *IN VITRO* DE EMBRIÕES (PIVE) BOVINOS, p. 30
3. HIPÓTESES CIENTÍFICAS, p. 34
4. OBJETIVOS, p. 35
 - 4.1 OBJETIVO GERAL, p. 35
 - 4.2 OBJETIVOS ESPECÍFICOS, p. 35
5. MATERIAL E MÉTODOS, p. 36
 - 5.1 ÉTICA, p. 36
 - 5.2 LOCAIS DO ESTUDO, p. 36
 - 5.3 DESENHO EXPERIMENTAL, p. 36
 - 5.4 COLETA DO COC E FLUIDO FOLICULAR, p. 37
 - 5.5 PIVE BOVINA, p. 37
 - 5.6 REAÇÃO EM CADEIA DA POLIMERASE, p. 39
 - 5.7 SEQUENCIAMENTO E ANÁLISE FILOGENÉTICA, p. 40
 - 5.8 ANÁLISE ESTATÍSTICA, p. 40
6. CAPÍTULO I – BOVINE GENITAL LEPTOSPIROSIS: EVIDENCE OF OVARIAN INFECTION BY *LEPTOSPIRA* INTERROGANS, p. 41
 - 6.1 ABSTRACT, p. 43

- 6.2 INTRODUCTION, p. 44
 - 6.3 METHODS, p. 44
 - 6.4 RESULTS, p. 46
 - 6.5 DISCUSSION, p. 46
 - 6.6 CONCLUSION, p. 48
 - 6.7 REFERENCES, p. 49
7. CAPÍTULO II – THE PRESENCE OF *LEPTOSPIRA* SPP. IN THE FOLLICULAR FLUID CAN AFFECT THE OOCYTE DEVELOPMENTAL COMPETENCE DURING *IN VITRO* EMBRYO PRODUCTION, p. 53
- 7.1. ABSTRACT, p. 55
 - 7.2. INTRODUCTION, p. 56
 - 7.3. MATERIAL AND METHODS, p. 58
 - 7.3.1. ETHICS, LOCATION, AND EXPERIMENTAL CONDITIONS, p. 58
 - 7.3.2. COLLECTION OF COCS AND FF, p. 58
 - 7.3.3. IVEP, p. 59
 - 7.3.3.1. SCREENING AND CLASSIFICATION, p. 59
 - 7.3.3.2. IVM OF OOCYTES, p. 59
 - 7.3.3.3. IVF OF EMBRYOS, p. 60
 - 7.3.3.4. IVC OF EMBRYOS, p. 60
 - 7.3.4. MOLECULAR DIAGNOSIS AND GENETIC ANALYSIS OF *LEPTOSPIRA* SPP., p. 61
 - 7.3.5. ENDPOINTS AND STATISTICAL ANALYSIS, p. 61
 - 7.4. RESULTS, p. 61
 - 7.5. DISCUSSION, p. 62
 - 7.6. CONCLUSION, p. 65
 - 7.7. REFERENCES, p. 66
8. CONSIDERAÇÕES FINAIS, p. 74

9. REFERÊNCIAS BIBLIOGRÁFICAS, p. 75

10. ANEXOS, p. 85

LISTA DE ILUSTRAÇÕES

Figura 1. Maximum likelihood phylogenetic tree inferred from partial secY gene sequences (410 bp) from the present study (bold and underlined) and GenBank sequences from *Leptospira* spp. most common identified in bovine (serovars, strains and accession numbers are shown). Gray rectangle with Brazilian flag represents sequences from *L. interrogans* serogroup Sejroe from the same geographical region. *Leptospira biflexa* strain Patoc is the outgroup taxa, p. 52

LISTA DE TABELAS E QUADROS

Table 1. *In vitro* embryo production outcomes of *cumulus-oocyte complexes* (COCs) derived from follicles with either presence (+) or absence (-) of *Leptospira* spp. detected by PCR in the follicular fluid of naturally infected crossbred donor dairy cows according to the laboratory (Lab), p. 73

LISTA DE ABREVIATURAS, SIGLAS E SÍMBOLOS

%	Porcento
±	Mais ou menos
°	Grau
°C	Grau Celsius
°GL	Grau Gay Lussac
µL	Microlitro
µM	Micrometro
µg	Micrograma
BGL	Leptospirose genital bovina
CEUA	Comitê de Ética no Uso de Animais
ATP	Adenosina trifosfato
CO2	Dióxido de carbono
COC	Complexo <i>cumulus</i> -oócito
DFM	Microscopia de Campo Escuro
DNA	Ácido desoxirribonucleico
ELISA	Ensaio de imunoabsorção enzimática
FBS	Soro fetal bovino
FF	Fluido folicular
FIV	Fertilização in vitro
FSH	Hormônio folículo estimulante
F-TALP	<i>Fertilization Tyrode's albumin lactate pyruvate</i>
FV	Fluido Vaginal
g	Gramma
GI	Grau um

GII	Grau dois
GIII	Grau três
h	Hora
IgA	Imunoglobulina A
IgG	Imunoglobulina G
LH	Hormônio luteinizante
FSH	Hormônio folículo estimulante
LPS	Lipopolissacarídeo
MAT	Teste de aglutinação microscópica
MCV	Muco cérvico-vaginal
MgCl ₂	Cloreto de magnésio
MHz	Megahertz
min	Minuto
MIV	Maturação <i>in vitro</i>
mL	Mililitro
mm	Milímetro
mmHg	Milímetro de mercúrio
NEG-FF	Negativo para <i>Leptospira</i> spp. no fluido folicular
OPU	Ovum pick-up
pb	Pares de base
POS-FF	Positivo para <i>Leptospira</i> spp. no fluido folicular
PCR	Reação em cadeia da Polimerase
pH	Potencial hidrogeniônico
PBS	Solução salina tamponada com fosfato
PIVE	Produção <i>in vitro</i> de embriões
RNA	Ácido ribonucleico

SOF	Fluido de oviduto sintético
spp.	Espécies
Taq	<i>Thermus aquaticus</i>
TCM-199	<i>Tissue culture medium 199</i>
UFF	Universidade Federal Fluminense
UI	Unidade internacional
ZP	Zona Pelúcida

1 1 INTRODUÇÃO

2 No ano de 2021 o Brasil continuou a apresentar o maior rebanho comercial
3 do mundo com aproximadamente 200 milhões de cabeças bovinas (ABIEC, 2022).
4 Devido a demanda de proteína animal, existe a necessidade de acréscimo na
5 eficiência da produção animal por meio do melhoramento genético e aumento da
6 eficiência reprodutiva alcançada pelas biotecnologias da reprodução (ZHU et al.,
7 2018). As perdas econômicas associadas à morte embrionária são de grande
8 preocupação, não apenas para a indústria bovina brasileira, mas também para o
9 mundo. Aproximadamente 37% das vacas leiteiras no estado do Rio de Janeiro
10 apresentam problemas reprodutivos, entre estes a repetição de estro e
11 abortamento, que podem ser associadas às doenças infecciosas (ARASHIRO et
12 al., 2017).

13 A infecção por *Leptospira* em bovinos ocorre no mundo todo e é
14 determinada por uma grande variedade de sorovares (ZARANTONELLI et al.,
15 2018). Os aspectos clínicos da leptospirose bovina, claramente indicam esta como
16 uma doença reprodutiva. Paradoxalmente, as pesquisas ainda têm como foco
17 principal a detecção de carreadores renais em urina, sendo a detecção de
18 carreadores genitais negligenciada. Poucos estudos foram conduzidos na esfera
19 reprodutiva, incluindo pesquisa de leptospiras em ovários e tubas uterinas
20 (BIELANSKY et al., 1998a); no útero (PIRES et al., 2018; DI AZEVEDO et al.,
21 2020); secreção vaginal (LOUREIRO et al., 2017); fluido folicular (FF) (DI
22 AZEVEDO et al., 2021) e sêmen (VINODH et al., 2008), que confirmam o trato
23 genital como um importante sítio extra renal de infecção. A eficiência reprodutiva é
24 a chave para a rentabilidade da produção animal, e as biotecnologias da
25 reprodução podem contribuir para o seu desenvolvimento. Devido à capacidade
26 de ser uma doença silenciosa, os animais infectados podem ser assintomáticos e
27 a implementação de biotecnologias pode ser prejudicada devido ao
28 comprometimento do sistema reprodutor, gerando prejuízo econômico. Apesar do
29 notório envolvimento da *Leptospira* na morte embrionária precoce em bovinos, a

30 patogênese da infecção de oócitos e embriões até o seu desfecho ainda
31 permanece sem elucidação. Diante dos fatos apresentados, o presente estudo se
32 propõe a avançar na compreensão dos mecanismos de infecção e avaliar os
33 danos gerados a oócitos e embriões infectados, bem como identificar
34 geneticamente as estírpes relacionadas à infecção genital.

35 2 FUNDAMENTAÇÃO TEÓRICA

36 2.1 *LEPTOSPIRA* E *LEPTOSPIROSE*

37 A leptospirose é uma enfermidade causada por espiroquetas do gênero
38 *Leptospira* spp., organismos cosmopolitas notificados em diversos locais no
39 mundo, sendo um clássico exemplo de zoonose, responsáveis por doença em
40 animais e seres humanos (ADLER; DE LA PEÑA MOCTEZUMA, 2010). São
41 bactérias móveis e o seu tamanho varia entre 6 a 20 µm de comprimento e 0,1 µm
42 de diâmetro, além de apresentarem morfologia helicoidal e flagelo periplasmático
43 (RISTOW; LILENBAUM, 2010). O gênero *Leptospira* pode ser dividido em dois
44 grandes grupos: as patogênicas, comprovadamente capazes de causar infecção,
45 e não patogênicas, organismos saprófitos encontrados no ambiente cujo potencial
46 infectante ainda não foi comprovado. Geneticamente são classificadas em
47 genomoespécies (VINCENT et al., 2019), enquanto para fins epidemiológicos, são
48 classificadas sorologicamente, com definição de sorovares. Sorovares que
49 possuem relação antigênica entre si são agrupados em sorogrupo. É importante
50 ressaltar que não existe associação entre os dois sistemas de classificação
51 utilizados atualmente.

52 Apesar de negligenciada, essa zoonose se encaixa perfeitamente no
53 conceito de Saúde única, devido a sua complexa e dinâmica epidemiologia
54 envolvendo humanos, animais e o ecossistema (LOUREIRO; LILENBAUM, 2020).
55 Com relação à infecção humana, por ano, mundialmente mais de um milhão de
56 pessoas são afetadas, sendo responsável por cerca de 60 mil mortes (THIBEAUX
57 et al., 2018). Alguns grupos estão associados ao risco ocupacional da doença,
58 como trabalhadores rurais, jardineiros, médicos-veterinários e outras pessoas que
59 trabalham diretamente com animais (KARPAGAM; GANESH, 2020). Devido a
60 características climáticas como a alta freqüência de chuvas, temperaturas
61 elevadas e o pH do solo, a *Leptospira* spp. é capaz de sobreviver e manter sua

62 patogenicidade por longos períodos, tornando a leptospirose endêmica em países
63 tropicais (MARTINS; LILENBAUM, 2015).

64 2.2 LEPTOSPIROSE BOVINA

65 A leptospirose pode apresentar diferentes aspectos clínicos dependendo da
66 interação entre o hospedeiro afetado e a estirpe infectante. A infecção causada
67 por sorogrupos incidentais resulta na forma clínica sistêmica aguda e grave da
68 doença; enquanto a infecção por sorogrupos adaptados causa uma enfermidade
69 crônica e silenciosa, com pouco ou nenhum sintoma aos seus hospedeiros
70 (ELLIS, 2015). Quando presentes, os principais sinais clínicos em ruminantes são
71 os abortamentos, aumento da natimortalidade, nascimentos de produtos fracos,
72 queda na produção de leite, infertilidade, aumento no intervalo entre partos e no
73 número de serviços, gerando perdas econômicas (LILENBAUM; MARTINS, 2015).
74 Além disso, a repetição irregular de estro e a morte embrionária precoce também
75 foram relatadas (LIBONATI et al., 2018).

76 Em bovinos, o sorogrupo Sejroe é de grande importância, possuindo dois
77 principais sorovares: Hardjo e Guaricura. No sorovar Hardjo, as duas principais
78 espécies que acometem bovinos são a *Leptospira interrogans* genótipo
79 Hardjoprajitno e a *Leptospira borgpetersenii* genótipo Hardjobovis (ADLER, 2015).
80 O genótipo Hardjoprajitno foi principalmente isolado na Europa e o Hardjobovis
81 tem sido isolado em diversas áreas do mundo (RINEHART et al., 2012). A
82 *Leptospira santarosai* tem como principal representante o sorovar Guaricura, que
83 tem sido isolado principalmente nas Américas (LOUREIRO et al., 2016).

84 Ao longo dos anos, tem sido detectada a presença de *Leptospira* spp. do
85 sorogrupo Sejroe no trato genital feminino em diferentes espécies como: equinos
86 (DIRECTOR et al., 2014), hamsters (BARBOSA et al., 2019), humanos (SHAKED
87 et al., 1993), ovinos (ROCHA et al., 2018) e bovinos (LOUREIRO et al., 2017).
88 Estas evidências indicam que estas estirpes possuem tropismo pelo trato genital
89 feminino. Devido a essa preferência pelo trato genital feminino e a associação dos

90 bovinos como principais reservatórios para as estirpes do sorogrupo Sejroe, estas
91 têm sido associadas a forma reprodutiva crônica e silenciosa da doença, que
92 recentemente foi denominada leptospirose genital bovina (LGB) (LOUREIRO;
93 LILENBAUM, 2020). Por ser silenciosa, esta doença pode passar despercebida e
94 não ser diagnosticada, comprometendo a eficiência reprodutiva com uma
95 consequente diminuição da produtividade dos rebanhos por longos períodos
96 (LOUREIRO; LILENBAUM, 2020). A infecção do trato genital por estirpes
97 adaptadas pode ser considerada um efeito secundário da infecção renal com a
98 suposição de que as leptospiras são encontradas no trato genital devido à
99 bacteremia causada pela colonização renal (MONAHAN et al., 2009). Em
100 contraste com essa hipótese, existem algumas evidências na literatura que
101 sugerem que a leptospirose genital deve ser considerada uma síndrome
102 específica dissociada de doença renal/sistêmica.

103 Alguns estudos recentes apresentam a epidemiologia da leptospirose
104 bovina no Brasil. Na região Norte foi possível detectar 47% (97/208) de vacas com
105 aptidão a produção de carne criadas extensivamente reativas à sorologia, sendo o
106 sorogrupo Sejroe o mais prevalente. Neste estudo, o DNA bacteriano foi detectado
107 por PCR em 6% (12/208) das amostras de rim e 15% (31/208) em amostras
108 urinárias (GUEDES et al., 2019). Na região Nordeste, após realizada a sorologia
109 de 253 bovinos, foi possível evidenciar 50% de animais positivos, sendo o sorovar
110 Hardjo o mais comum. Alguns fatores de risco associados à doença foram um
111 rebanho maior que 35 animais, a criação de animais de corte, sistema de criação
112 extensiva e a presença de açudes ou córregos como fonte de água e ausência de
113 serviços de médicos veterinários (CAMPOS et al., 2017). Em estudo posterior
114 realizado em 22 fazendas do mesmo estado, porém em outra microrregião, foi
115 detectado soropositividade em 35% dos animais, sendo 33% (136/414) fêmeas e
116 2% (7/414) em machos, de forma que todas as fazendas tinham pelo menos um
117 animal positivo, não importando a aptidão do animal e o sistema de criação
118 adotado. A ausência de quarentena, vacinação e isolamento de bovinos doentes

119 foram fatores de risco para a detecção de animais positivos (FERREIRA et al.,
120 2017).

121 Na região Sul foram avaliados rebanhos de leite, em grande maioria criadas
122 em sistema semiextensivo, para a presença de anticorpos anti-*Leptospira*. Em uma
123 avaliação onde somente vacas foram testadas, 6% (80/1242) foram positivas por
124 meio de sorologia para a infecção, sendo os fatores de risco associados o acesso
125 de cães ao pasto e de roedores ao alimento suplementar fornecido. Por análise de
126 causa-efeito, a ocorrência de desordens reprodutivas esteve diretamente ligada a
127 leptospirose (FÁVERO et al., 2017). Já no Sudeste, após a avaliação em 11
128 rebanhos bovinos destinados a reprodução, criados de forma extensiva, com
129 histórico de falhas reprodutivas e ausência de vacinação para leptospirose, 66%
130 (264/400) dos animais foram reativos em sorologia a pelo menos um de 19
131 sorovares de *Leptospira* spp. (SÁNCHEZ et al., 2018). Comparando a
132 soropositividade em um rebanho bovino que continha animais para produção de
133 leite ou carne, criados de forma semi-intensiva e extensiva respectivamente, 82%
134 (170/206) das vacas leiteiras apresentaram positividade em sorologia, enquanto
135 36% (82/226) dos bovinos de corte foram soropositivos. O sorovar Hardjo foi mais
136 comum nos animais leiteiros, enquanto sorovares incidentais como Wolffii e
137 Bratislava foram mais frequentes nos bovinos de corte (MARTINS et al., 2012).
138 Esses dados corroboram com uma investigação realizada previamente
139 (LILENBAUM; SOUZA, 2003). Na mesma região, amostras de vacas clinicamente
140 assintomáticas antes do abate foram analisadas por sorologia e PCR. Por
141 sorologia, foi possível detectar 37% (77/208) de animais reativos, sendo o sorovar
142 Sejroe o mais frequente (62%). A partir da PCR urinária, 34% (67/199) dos
143 animais foram positivos para a presença do microrganismo, o que sugere a
144 contaminação do ambiente por bovinos assintomáticos (HAMOND et al., 2014).

145 A soropositividade e casos clínicos da leptospirose estão associados a
146 fatores de risco como chuvas e alagamentos (DESVARS et al., 2011), sendo que
147 a chuva influencia de forma diferente a prevalência de sorovares incidentais e

148 adaptados (SALGADO et al., 2014). Investigando o efeito da chuva na
149 epidemiologia da leptospirose, amostras de soro e urina foram coletadas de animais
150 de abatedouro em períodos secos ou chuvosos. Na sorologia durante os períodos
151 chuvosos 43% (158/362) dos animais foram reativos, enquanto nos períodos
152 secos 32% (70/220), sendo o sorogrupo Sejroe o mais frequente 55% (125/228).
153 Por PCR, 42% (153/362) e 33% (73/220) foram positivos em períodos chuvosos e
154 secos, respectivamente. Os autores concluíram que os períodos chuvosos afetam
155 a infecção por sorovares incidentais e adaptados de formas diferentes, pois
156 enquanto a infecção por sorovares incidentais foi aumentada de forma significativa
157 durante as épocas chuvosas, os sorovares adaptados não foram afetados por
158 condições ambientais (CORREIA et al., 2017). Apesar desses fatores, no contexto
159 da LGB a possibilidade de transmissão sexual pode ser mais relevante para essa
160 doença silenciosa e crônica provocadas por sorogrupos adaptados, como o Sejroe
161 (LOUREIRO et al., 2017; LOUREIRO; LILENBAUM, 2020).

162 2.3 *LEPTOSPIRA* spp. NO TRATO GENITAL E GAMETAS DE FÊMEAS
163 BOVINAS

164 Investigando a colonização do trato genital feminino, fragmentos do canal
165 vaginal de fêmeas bovinas provenientes de abatedouros foram avaliados por
166 imunohistoquímica e histologia. Primeiramente, os animais naturalmente infectados
167 foram identificados a partir da PCR de fluido vaginal (FV), urina e rim (OLIVEIRA
168 et al., 2016). Das 147 amostras de FV analisadas, 28% (41/147) foram positivas
169 em PCR. Destas amostras, 83% (34/41) apresentaram também positividade na
170 urina e/ou rim. Apesar disso, não foi identificada a presença de *Leptospira* spp. ou
171 alterações patológicas compatíveis no tecido vaginal, o que pode ser justificado
172 pela origem uterina do FV (OLIVEIRA et al., 2016). Avaliando a presença do
173 patógeno em FV e urina de vacas provenientes de abatedouro, o DNA bacteriano
174 foi detectado em 50% (128/254) das amostras de FV e 31% (81/254) das
175 amostras de urina. Correlacionando os dados, 29% (75/254) dos animais foram

176 positivos apenas em amostras de urina, enquanto 11% (28/254) apenas no FV
177 (LOUREIRO et al., 2017).

178 Além do FV e do tecido vaginal, o tecido uterino foi outro sítio avaliado para
179 a colonização de *Leptospira* spp.. Em amostras de tecido uterino de animais
180 provenientes de abatedouro, foi possível detectar o DNA bacteriano por PCR. Das
181 amostras de vacas não-prenhas, 18% (9/50) foram positivas, sendo que duas
182 delas apresentaram material genético com qualidade suficiente para realizar o
183 sequenciamento, sendo ambas 100% similares com *L. interrogans* (PIRES et al.,
184 2018). Posteriormente, Di Azevedo et al., (2020) evidenciaram 26 % (11/42) de
185 amostras uterinas positivas para *Leptospira* sp., sendo possível identificar nove
186 destas como *L. interrogans*, com alta identidade com o sorovar Hardjo (DI
187 AZEVEDO et al., 2021). Utilizando essa espécie para infectar experimentalmente
188 cadelas, foi possível evidenciar dano ao endométrio, estimulando uma resposta
189 inflamatória e uma expressão anormal de proteínas da matriz extracelular, que
190 poderia causar danos ao desenvolvimento embrionário (WANG et al., 2014).

191 Avaliando a presença de anticorpos anti-leptospira em descargas genitais
192 de vacas naturalmente infectadas, foi possível detectar imunoglobulinas G (IgG) e
193 imunoglobulinas A (IgA) por meio da técnica de Ensaio de imunoabsorção
194 enzimática (ELISA), com prevalência显著mente maior do que a obtida por
195 meio do Teste de aglutinação microscópica (MAT) feito com o soro (DHALIWAL et
196 al., 1996). Já em fêmeas experimentalmente infectadas por via intrauterina e
197 inseminadas no estro subsequente, a taxa de gestação foi menor no grupo
198 infectado, porém não estatisticamente significante. Houve evidência de leptospiras
199 na urina e no muco cérvico-vaginal (MCV) por meio de imunofluorescência direta e
200 de microscopia de campo escuro em 6 de 8 fêmeas infectadas. Frequentemente
201 ocorreu a detecção de anticorpos no MCV durante os estros subsequentes, no
202 período total de 15 semanas, sendo a titulação de IgA usualmente maior que IgG
203 (DHALIWAL et al., 1996).

204 A associação entre a *Leptospira* spp., oócitos e embriões foi avaliada por
205 diferentes autores. Utilizando o sorovar Hardjo na concentração de 10^8 bactérias/mL
206 para infectar experimentalmente oócitos durante a maturação *in vitro*, embriões
207 bovinos não sofreram efeitos deletérios nas taxas de fertilização e no
208 desenvolvimento embrionário (BIELANSKI; SURUJBALLI, 1996). No mesmo
209 estudo, fêmeas bovinas foram infectadas utilizando a mesma concentração por via
210 conjuntival e endovenosa utilizando o sorovar Hardjo tipo Hardjobovis, abatendo os
211 animais no dia quatro ou 11 pós-infecção. Os autores detectaram, por meio de
212 microscopia de campo escuro, microrganismos semelhantes a *Leptospira* em
213 amostras de FF e COCs de animais abatidos quatro dias após infecção
214 experimental (3/9 animais). Esse achado se repetiu em animais abatidos 11 dias
215 após a infecção (5/10 animais positivos).

216 Utilizando a mesma concentração bacteriana descrita acima, embriões
217 produzidos *in vitro* foram infectados durante o estágio de mórula com *Leptospira*
218 *borgpetersenii* sorovar Hardjobovis. Foi possível confirmar a aderência da bactéria
219 na superfície e a entrada nos poros da zona pelúcida (ZP). Cortes longitudinais e
220 transversais realizados nos embriões evidenciaram o microrganismo na matriz da
221 ZP, no espaço perivitelíneo, nos espaços intercelulares e nas células embrionárias,
222 confirmando que não ocorre somente a aderência no embrião, mas também a
223 penetração nas células (BIELANSKI; SURUJBALLI, 1998). Após a inseminação
224 artificial de vacas superovuladas com sêmen infectado os autores detectaram, por
225 meio de microscopia, presença de *Leptospira borgpetersenii* sorovar Hardjobovis
226 em 100% (63/63) dos embriões obtidos, bem como em fluido do oviduto e
227 lavados uterinos (n=10). Em outro experimento, duas semanas após terem sido
228 infectadas terem sido infectadas por via conjuntival, intranasal e intracervical, com
229 a concentração de 5×10^4 bactérias em cada via, fêmeas foram superovuladas e
230 inseminadas. Como resultado, quatro de 14 embriões obtidos foram positivos.
231 Ressalta-se, porém, que 100% (21/21) dos oócitos obtidos foram negativos,
232 ambos analisados pela técnica de PCR (BIELANSKI et al., 1998a).

233 2.4 MÉTODOS DE DIAGNÓSTICO EM LEPTOSPIROSE BOVINA

234 Devido ao caráter silencioso que a forma reprodutiva da leptospirose bovina
235 pode apresentar, o diagnóstico da doença é um desafio (LOUREIRO;
236 LILENBAUM, 2020). Quando presentes, os sintomas não permitem o diagnóstico
237 clínico preciso, devido a sintomatologia comum a diversos patógenos
238 (HERNÁNDEZ-RODRÍGUEZ et al., 2010). O diagnóstico laboratorial pode ser
239 dividido em métodos indiretos, com a detecção de anticorpos, ou métodos diretos,
240 com a detecção do agente (ADLER, 2015).

241 O Teste de Aglutinação Microscópica (MAT) é o teste de diagnóstico
242 referência para humanos (WHO, 2010) e animais (OIE, 2012). Apesar de útil como
243 teste de triagem para rebanhos com problemas reprodutivos, o MAT deve sempre ser
244 interpretado como um teste coletivo, nunca individual (DI AZEVEDO; LILENBAUM,
245 2020). É uma técnica pouco precisa, devido a avaliação subjetiva, a falta de um
246 valor de *cut off* preciso e os resultados falso-positivos que podem ser gerados
247 devido a reações cruzadas (HERNÁNDEZ-RODRÍGUEZ et al., 2010). Além disso,
248 esta técnica apresenta custo elevado e só pode ser realizada por laboratórios
249 de referência, devido a necessidade de manutenção de uma grande variedade
250 de sorovares (HERNÁNDEZ-RODRÍGUEZ et al., 2010). Já o ensaio de
251 imunoabsorção enzimática (ELISA) é uma técnica sorológica alternativa, com
252 vantagem em relação ao MAT devido a possibilidade de execução com
253 treinamento e equipamento laboratorial mínimos, fornecendo resultados
254 geralmente em 4h. Ademais, outro fator importante é que essa técnica dispensa a
255 manutenção de culturas vivas, tornando o procedimento menos laborioso e seguro
256 para a equipe laboratorial (PENNA et al., 2017).

257 O cultivo bacteriano foi por muito tempo a técnica de eleição para o
258 diagnóstico de leptospirose, porém tem sido substituída por técnicas mais baratas
259 e menos laboriosas (OIE, 2012). Esse método pode contribuir para o melhor
260 entendimento da epidemiologia local da doença (CHAPPEL; SMYTHE, 2012), bem
261 como o aumento da sensibilidade do diagnóstico sorológico devido a utilização de

262 cepas locais (SARMENTO et al., 2012), mas é preciso considerar que as
263 leptospiras são extremamente fastidiosas, e o isolamento além de difícil pode
264 demorar semanas. A Microscopia de Campo Escuro (DFM) é baseado na
265 observação direta do microrganismo sob microscopia, sendo necessário
266 aproximadamente 10^4 leptospiras/mL para a detecção visual. O resultado dessa
267 metodologia pode ser influenciado pela habilidade do operador, além da presença
268 de fibrina e outros artefatos que podem estar presentes na amostra (LOUREIRO
269 et al., 2013).

270 A PCR tem como vantagem a alta sensibilidade e especificidade para a
271 detecção de DNA leptospírico em amostras clínicas (HAMOND et al., 2014a),
272 porém, por não possibilitar a identificação dos organismos a nível de sorovar não é
273 indicada para estudos que envolvam epidemiologia (BOURHY et al., 2013). O
274 teste não requer a presença de microrganismos vivos e o diagnóstico precoce
275 pode ser realizado, uma vez que o DNA bacteriano pode ser detectado antes que
276 o hospedeiro desenvolva uma resposta imunológica à infecção (WAGGONER;
277 PINSKY, 2016). O gene *LipL32* é atualmente o alvo mais usado para a detecção
278 de *Leptospira*. Ele codifica uma lipoproteína de membrana externa que está
279 presente nas espécies patogênicas e ausente nas não patogênicas (STODDARD
280 et al. 2009). Após o diagnóstico, se o sequenciamento do DNA detectado puder ser
281 realizado, o gene *secY* é um ótimo marcador genético, pois além de uma boa
282 resolução taxonômica a nível de espécie, o banco de dados sobre esse gene é
283 extenso, incluindo diferentes espécies e sorogrupos, a identificação e o
284 estabelecimento de inferências filogenéticas (DI AZEVEDO; LILENBAUM, 2020).

285 2.5 TRATAMENTO DE GAMETAS E EMBRIÕES

286 Uma importante característica de embriões produzidos *in vitro* é a menor
287 rigidez e maior elasticidade da ZP, se comparadas a embriões produzidos *in vivo*,
288 devido principalmente a exposição a glicoproteínas presentes no fluido do oviduto
289 (HOLM et al., 2002). A ZP consiste em uma camada de matriz extracelular,
290 que circunda óocitos a partir do estágio pré-ovulatório e embriões. Para que um

291 patógeno seja capaz de causar infecção em oócitos e embriões é necessário,
292 primeiramente, que alcance a membrana celular seja diretamente, quando se
293 encontrar danificada e/ou removida ou penetrando a ZP, ou seus poros. Outro
294 requisito importante é a capacidade de aderência dos patógenos a ZP, sendo que
295 estes tendem a aderir de forma mais fixa a ZP de embriões produzidos *in vitro*
296 (VAN SOOM, et al., 2010).

297 Utilizando *Leptospira interrogans* sorovar Grippotyphosa, oócitos bovinos
298 foram experimentalmente infectados e submetidos a tratamentos com lavagens
299 sequenciais contendo antimicrobianos (penicilina 10.000 UI/mL e estreptomicina 10
300 mg/mL), tripsina por 2 min ou somente o meio utilizado para a maturação dos
301 oócitos (TCM-199). Foram utilizadas duas cepas sendo uma virulenta, na
302 concentração $4,7 \times 10^5 \mu\text{L}^{-1}$ e outra avirulenta, na concentração de $6,3 \times 10^5 \mu\text{L}^{-1}$,
303 ambas em volumes de 5, 10 ou 30 μL . Por meio de microscopia de campo escuro,
304 foi possível avaliar que nos grupos submetidos a cepas virulentas e lavagens com
305 antimicrobianos a efetividade foi de 50% (100/200) para o grupo exposto a 5 μL ,
306 40% (80/200) para o exposto a 10 μL , e 22,5% (45/200) para os expostos a 30 μL .
307 Em grupos tratados com tripsina, os resultados foram os mesmos. Após as
308 lavagens sequenciais com TCM-199, os grupos infectados com 5 e 10 μL
309 apresentaram 100% de efetividade, porém em grupos com 30 μL não houve
310 eficiência. Com a cepa avirulenta, após o tratamento com antimicrobianos ou
311 tripsina, não houve resultados efetivos em nenhum dos grupos. Apesar de que com
312 a lavagem sequencial de TCM-199 o grupo exposto a 5 μL apresentou 28%
313 (57/200) de efetividade, o exposto as concentrações de 10 e 30 μL não foram
314 efetivos (GÓES et al., 2009). Os autores sugeriram que novas técnicas sejam
315 utilizadas para a obtenção de resultados mais confiáveis, como exemplo a detecção
316 do agente por PCR. O mesmo autor utilizou o volume de 30 μL para infectar oócitos
317 bovinos, submetidos aos mesmos tratamentos. Com a concentração de $4,7 \times 10^5$
318 μL , os tratamentos apresentaram, para os grupos tratados com tripsina e
319 antibióticos, 22% de eficácia (39/180), e para o grupo lavado sequencialmente com

320 TCM-199, 33% de eficácia (60/180). Para os oócitos expostos à cepa avirulenta, os
321 tratamentos não foram eficazes para nenhum dos grupos contaminados, em 160
322 oócitos de cada grupo (GÓES et al., 2012).

323 2.6 PRODUÇÃO *IN VITRO* DE EMBRIÕES (PIVE) BOVINOS

324 A produção *in vitro* de embriões (PIVE) tem como principal objetivo o
325 aumento da produção de prenhezes de uma determinada fêmea com genética
326 superior, diminuindo o intervalo de gerações e aumentando a pressão de seleção
327 (YANG et al., 2013). A técnica apresenta como vantagens poder ser utilizada em
328 fêmeas compatologias que a impeçam de se reproduzir naturalmente, em animais
329 senis, novilhas pré-púberes, ou mesmo em fêmeas gestantes, além da facilidade
330 de importar e exportar material genético (SCANAVEZ et al., 2013). Mundialmente,
331 em bovinos, o número de embriões produzidos *in vitro* alcançou mais de um milhão
332 e meio de registros em 2021, sendo aproximadamente 450 mil destes produzidos
333 no Brasil (VIANA, 2022). Apesar desses fatores, a qualidade e a quantidade dos
334 embriões produzidos *in vitro* podem ser reduzidas devido à da presença de
335 agentes infecciosos no trato reprodutivo dos bovinos, podendo resultar em
336 doenças nas receptoras e nos animais nascidos (STRINGFELLOW; GIVENS,
337 2000).

338 Para a obtenção de oócitos *in vivo*, um dos primeiros métodos utilizados em
339 bovinos foi a laparotomia ventral mediana, porém o trauma cirúrgico causado pelo
340 procedimento levou ao desenvolvimento de técnicas mais sofisticadas (DE
341 SOUZA; ABADE, 2019). A biotécnica de aspiração folicular guiada por ultrassom
342 ou *Ovum Pick-up* (OPU) é utilizada para a coleta do complexo *cumulus*-oócito
343 (COC) de uma forma menos invasiva na espécie bovina (LUSTOSA et al., 2017).
344 As biotecnologias da reprodução apresentam como vantagem a diminuição do
345 risco de transmissão de doenças sexualmente transmissíveis (BONDURANT,
346 2005). Além dos agentes infecciosos em oócitos e sêmen, existe risco de infecção
347 por meios e materiais de origem animal utilizados no processo de produção de
348 embriões. Alguns suplementos de origem animal utilizados na PIVE são o soro

349 fetal bovino, tripsina e células utilizadas em co-cultivo, células da tuba uterina e
350 células do *cumulus*-oócitos (BROCK, 1998). Outra importante fonte de
351 contaminação é a exposição direta, durante a criopreservação ou quando são
352 armazenadas em embalagens inapropriadas e expostas a nitrogênio líquido
353 contaminado (BIELANSKI, 2010). A obtenção dos oócitos é seguida da maturação
354 (MIV), fertilização (FIV), cultivo e posterior inovação em fêmeas receptoras
355 (LUEDKE et al., 2019).

356 A técnica de OPU é realizada de acordo com Loiola et al. (2015). Após a
357 anestesia epidural sacra para o bloqueio da região perianal, de forma que o animal
358 não senta a punção folicular. Por meio de palpação retal ocorre o posicionamento
359 do ovário próximo a região do fundo de saco vaginal, sendo utilizado um
360 equipamento de ultrassonografia com transdutor microconvexo intra-vaginal,
361 acoplado a uma guia de biópsia e agulha. Uma bomba a vácuo gera pressão
362 negativa o suficiente para o FF seja aspirado pelo sistema e armazenado. O
363 aspirado então é passado por um filtro, onde os COCs ficam retidos, para
364 posterior triagem, classificação e maturação.

365 A classificação dos oócitos é feita baseada na morfologia, sendo os
366 principais componentes a quantidade e adesão das células do *cumulus*-oócitos e a
367 disposição do citoplasma (DEMETRIO e BARFIELD, 2021). Os oócitos de grau I
368 possuem mais de 3 camadas compactas de células do *cumulus*, enquanto o
369 citoplasma apresenta granulações finas e homogêneas, preenchendo o interior da
370 zona pelúcida. Os oócitos de grau II possuem células do *cumulus* de forma parcial,
371 não revestindo completamente o oóbito ou com menos de três camadas de células
372 do *cumulus*, enquanto o citoplasma apresenta granulações distribuídas de forma
373 heterogênea. O grau III é composto por oócitos com células do *cumulus* presente,
374 porém menos compacto. O citoplasma se encontra degenerado, vacuolizado ou
375 fragmentado e concentrado em uma determinada área, sendo possível observar
376 espaços entre a membrana celular e a zona pelúcida. Já os oócitos de grau IV são
377 aqueles desnudos e sem células do *cumulus*, enquanto o citoplasma possui cor e

378 granulações anormais, com células expandidas de aparência apoptótica. A etapa
379 de maturação *in vitro* é necessária, pois quando os oócitos são aspirados do
380 interior dos folículos ainda não estão aptos para a fecundação, devido a
381 imaturidade do núcleo e do citoplasma (VARAGO et al., 2008). Durante o
382 desenvolvimento oocitário, este se encontra no estágio de prófase I. O reinício da
383 meiose é sinalizado *in vivo* pelo pico pré-ovulatório de LH, enquanto *in vitro* a
384 retirada do oócio dos folículos é a sinalização para retomada da maturação
385 nuclear, até a fase de metáfase II (GONÇALVES et al., 2007). Para que a
386 maturação ocorra, são necessárias condições que mimetizem a ambiente *in vivo*
387 (SANGILD, 2000). Comumente são adotados protocolos com a utilização de soro
388 fetal bovino e hormônios gonadrotóficos como o Hormônio Folículo Estimulante
389 (FSH), Hormônio Luteinizante (LH) e Estradiol, além de ambiente com temperatura
390 e atmosfera controladas (RODRIGUES et al., 2000). Além da temperatura e a
391 concentração de gases, outros fatores como a osmolaridade e o pH do meio de
392 maturação influenciam na taxa de maturação (SANGILD, 2000). Ao final da
393 maturação, é possível observar a extrusão do primeiro corpúsculo polar, indicando
394 que o oócio está hábil para a fecundação (AVELINO et al., 2002).

395 A FIV consiste na utilização de sêmen incubado juntamente aos oócitos
396 maturados. Geralmente o sêmen é descongelado e passa por tratamento para a
397 seleção de espermatozoides vivos, como exemplo o gradiente de Percoll e a
398 técnica de *Swim-up* (BUENO; BELTRAN, 2008). O tempo de incubação e a
399 concentração espermática são importantes para evitar a diminuição do potencial de
400 desenvolvimento do oócio e fecundações anormais (RAMOS et al., 2000). A taxa
401 de poliespermia e o maior tempo de contato dos oócitos com substâncias tóxicas
402 liberadas pelos espermatozoides prejudicam o desenvolvimento embrionário (DIAS
403 et al., 2006). O cultivo *in vitro* é a etapa de desenvolvimento do presumido zigoto
404 ao estágio de embrião (DE SOUZA; ABADE, 2018). De acordo com o estágio de
405 desenvolvimento os embriões podem ser classificados em Mórula, Mórula
406 compacta, Blastocisto inicial, Blastocisto, Blastocisto expandido e Blastocisto
407 ecloido (BÓ; MAPLETOFT, 2013). É durante esse período que ocorrem a

408 ativação do genoma embrionário, processo da divisão celular, compactação dos
409 blastômeros e início da diferenciação embrionária com formação da blastocele
410 (LIMA; SOUZA, 2009).

411

412 3 HIPÓTESES CIENTÍFICAS

413 ♦ CAPÍTULO I

414

415 A presença de *Leptospira* spp. em fluido folicular de vacas assintomáticas
416 está relacionada a estirpes previamente identificadas como causadoras da
417 leptospirose genital bovina.

418

419 ♦ CAPÍTULO II

420

421 A presença de *Leptospira* no fluido folicular de vacas naturalmente
422 infectadas pode prejudicar a competência ao desenvolvimento dos oócitos
423 e a técnica de produção *in vitro* de embriões pode ser uma ferramenta
424 confiável para confirmar essa hipótese.

425

426

427

428

429

430

431

432 4 OBJETIVOS

433 4.1 OBJETIVO GERAL

434 Investigar os impactos da infecção genital em vacas naturalmente
435 infectadas por *Leptospira* spp. na produção *in vitro* de embriões, bem como
436 caracterizar genotipicamente as estirpes relacionadas.

437

438 4.2 OBJETIVOS ESPECÍFICOS

439

- 440 I- Identificar a prevalência de leptospirose genital bovina em vacas
441 naturalmente infectadas (Experimento 1);
442 II- Caracterizar genotipicamente as estirpes de *Leptospira* spp. identificadas
443 no FF de vacas naturalmente infectadas (Experimento 1);
444 III- Correlacionar a presença de *Leptospira* spp. no FF com a qualidade de
445 COCs obtidos pela técnica de *Ovum pick-up* (Experimento 2);
446 IV- Correlacionar a presença de *Leptospira* spp. no FF com a taxa de clivagem e
447 quantidade de blastocistos produzidos *in vitro* (Experimento 2).

448

449 5 MATERIAL E MÉTODOS

450 5.1 ÉTICA

451 Este estudo foi realizado conforme as orientações do Comitê de Ética no
452 Uso de Animais da Universidade Federal Fluminense (CEUA/UFF), sendo
453 aprovado sob o número 8688190919 (Anexos). As amostras obtidas foram
454 provenientes de laboratórios comerciais de produção *in vitro* de embriões que
455 firmaram parceria com a nossa equipe de pesquisa.

456 5.2 LOCAIS DO ESTUDO

457 As coletas das amostras de FF foram realizadas em parceria com centrais de
458 produção *in vitro* de embriões bovinos localizadas nos estados de Minas Gerais e
459 São Paulo. Após a coleta dos COCs, os embriões foram produzidos nos respectivos
460 laboratórios. As amostras coletadas foram processadas para detecção e cultivo de
461 *Leptospira* spp. pelo Laboratório de Bacteriologia Veterinária, da Universidade
462 Federal Fluminense (LaBV-UFF). O sequenciamento genético foi realizado em
463 parceria com o Laboratório de Epidemiologia e Sistemática Molecular da
464 Fundação Oswaldo Cruz, através da plataforma do Programa de Desenvolvimento
465 Tecnológico em Insumos para Saúde (PDTIS Fiocruz).

466 5.3 DESENHO EXPERIMENTAL

467 A aspiração folicular guiada por ultrassonografia para coleta de fluido
468 folicular (FF) e oócitos foi executada conforme descrito por Arashiro et al. (2013).
469 O FF recuperado foi filtrado e uma alíquota mantida congelada a -20 °C até
470 posterior análise. As amostras passaram por uma caracterização quanto a
471 presença ou ausência de DNA de *Leptospira* spp. no FF por meio da técnica de
472 Reação em Cadeia da Polimerase (PCR) (HAMOND et al., 2014), o que definiu os
473 grupos: amostras positivas (POS-FF) ou amostras negativas (NEG-FF). A
474 qualidade morfológica dos oócitos coletados foi avaliada e posteriormente
475 submetida ao processo de maturação, fertilização (com sêmen adquirido de central
476 idônea e touro sabidamente saudável) e cultivo *in vitro*. A competência ao

477 desenvolvimento dos oócitos foi avaliada por meio da taxa de clivagem e taxa de
478 blastocistos (em função do número inicial de oócitos e do número de clivados)
479 (SOUZA-FABJAN et al., 2014). Estas avaliações foram então comparadas entre
480 aqueles oócitos e embriões provenientes de POS-FF e NEG-FF.

481 5.4 COLETA DO COC E FLUIDO FOLICULAR

482 Primeiramente, ocorreu a lavagem da vulva e da região perianal com água
483 corrente e posterior antisepsia da região sacrococcígea utilizando álcool 70º GL.
484 Sucedeu-se então realizada a anestesia epidural sacra, entre a quinta vértebra
485 sacral e a primeira vértebra coccígea, utilizando 4,5 mL de cloridrato de lidocaína a
486 2% sem vaso constrictor (Lidovet® - Bravet, Rio de Janeiro, RJ, Brasil).

487 A OPU foi realizada utilizando um equipamento portátil de ultrassonografia
488 (Prosound 2® – Aloka-Hitachi, Twinsburg, Ohio, EUA) equipado com um
489 transdutor microconvexo intra-vaginal (7,5 MHz) acoplado ao guia da agulha
490 (WTA, Cravinhos, São Paulo, Brasil). É importante ressaltar que o transdutor foi
491 protegido com uma bainha higiênica trocada a cada aspiração, para evitar a
492 contaminação cruzada entre os animais. Foram utilizadas agulhas descartáveis
493 20G, próprias para aspiração folicular (WTA, Cravinhos, São Paulo, Brasil)
494 conectadas a um circuito de teflon de 1,20 m de comprimento (WTA, Cravinhos,
495 São Paulo, Brasil). Este circuito foi limpo entre aspirações de diferentes vacas
496 usando meio PBS+ATB. O sistema conectado a uma bomba a vácuo (BV-003
497 WTA, Cravinhos, SP, Brasil) que gera uma pressão negativa (-80 mmHg e -
498 100mHg). O aspirado obtido foi então depositado em um tubo cônicoo e
499 direcionado ao laboratório, onde o seu conteúdo foi vertido em um filtro para
500 oócitos (WTA, Cravinhos, São Paulo, Brasil). Após a filtração, 2 mL foram
501 armazenados em microtubo cônicoo e congelados a 25 ºC até o processamento.

502 5.5 PIVE BOVINA

503 Quando da chegada do tubo cônicos ao laboratório, o seu conteúdo foi
504 lentamente vertido em um filtro de 75 µm (WTA, Cravinhos, São Paulo, Brasil) para
505 eliminação de outras células e debris celulares, facilitando a visualização dos COCs.
506 Houve uma lavagem suave do filtro utilizando solução de PBS aquecida a 37,5 °C,
507 para que os COCs retidos no filtro fossem recuperados. Ocorreu então a deposição
508 do lavado do filtro em uma placa de Petri plástica de 60 x 15 mm, sendo esta levada
509 a um microscópio estereoscópio (NSZ 405® – Coleman, Santo André, São Paulo,
510 Brasil) para o rastreamento e classificação dos COCs, seguindo o modelo descrito
511 por Demetrio & Barfield (2021).

512 A MIV foi realizada em média por 24 h, e ocorreu em gotas de 70 µL de
513 meio TCM-199 suplementado, aquecidas a 38 °C e sob 5% de CO₂. Cada gota
514 contendo no máximo 30 estruturas depositadas em placas de Petri plásticas de 35
515 x 10 mm.

516 A MIV foi seguida pela lavagem dos óócitos maturados em 50 µL de meio
517 F-TALP utilizado para a FIV, sendo transferidas para gotas de 60 µL. O sêmen
518 congelado utilizado foi obtido de centrais de reprodução, provenientes de touros
519 certificados. O descongelamento ocorreu em um descongelador (Descongelador
520 de Sêmen e Embriões® – WTA, Cravinhos, São Paulo, Brasil) sob 35 °C durante
521 30 segundos, ocorrendo então a sua submissão a um gradiente de Percoll. O
522 sêmen é adicionado a 250 µL de solução de Percoll a 38 °C, ocorrendo a
523 centrifugação em 200 x g por 5 minutos. Após a centrifugação, o sobrenadante é
524 retirado e acrescido 400 µL de meio para FIV, ocorrendo nova centrifugação a
525 200 x g por 2 minutos, e então retirada o sobrenadante, sendo a solução
526 restante homogeneizada e 6 µL utilizados na inseminação da gota. A FIV ocorreu
527 em média durante 24 h em incubadora a 38,5 °C com 5 % de CO₂.

528 O cultivo foi realizado em meio SOF distribuído em gotas de 70 µL com no
529 máximo 30 estruturas cada gota, em estufa sob as mesmas condições da FIV.
530 Foram realizados dois *feedings*, o primeiro no quarto dia após o início da MIV, e o

531 segundo no sexto dia. A cada *feeding* é trocado 40 µL do meio de cultivo pela
532 mesma quantidade de meio novo. No oitavo dia após o início da maturação ocorreu
533 a passagem dos embriões que chegaram ao estágio de blastocisto para o meio H-
534 SOF, e neste envasados em palhetas de 0,25 mL. As palhetas então foram
535 lacradas e alocadas em transportador de óócitos e embriões a 38,5 °C, até a sua
536 inovulação em receptoras. As taxas de PIVE foram correlacionados com a
537 presença de *Leptospira* spp. no fluido folicular, de modo a investigar se esse
538 microrganismo pode influenciar negativamente na qualidade dos óócitos e
539 consequentemente prejudicar a viabilidade dessa técnica reprodutiva.

540 5.6 REAÇÃO EM CADEIA DA POLIMERASE (PCR)

541 A extração do DNA bacteriano do FF ocorreu utilizando-se o Kit DNeasy®
542 Blood & Tissue (Promega Madison, USA), utilizado de acordo com as
543 recomendações do fabricante. Para identificação do gene *lipL32*, presente em
544 *Leptospira* spp. patogênicas (STODDARD et al., 2009), foram utilizados *primers*
545 *lipL32_45F* (5' - AAGCATTACCGCTTGTGGTG - 3') e *lipL32_286R* (5' -
546 GAACTCCCATTCAGCGATT - 3'), que geram fragmentos de 242 pb,
547 apresentando sensibilidade e especificidade próxima de 100% (STODDARD et al.,
548 2009).

549 Os *primers* foram utilizados na concentração de 0,6 µM, 1,0 U Taq
550 polimerase, 2,4 µM MgCl₂, 03 mMdNTP em um volume final de 25 µL. Foi feito um
551 ciclo inicial de desnaturação a 94 °C por 2 minutos, seguido por 35 ciclos de
552 desnaturação a 94 °C por 30 segundos, anelamento a 53 °C por 30 segundos e
553 extensão por 1 minuto a 72 °C e por fim um ciclo de extensão a 72 °C por 5 minutos.
554 Como controle positivo, utilizou-se uma cepa de *Leptospira interrogans* sorovar
555 Copenhageni, Fiocruz L1-130 (ATCC BAA-1198).

556 As amostras *lipL32* positivas foram submetidos a *nested*-PCR com alvo em
557 uma região parcial do gene *secY* (410 pb), como descrito por Di Azevedo et al.

558 (2021). Para cada conjunto de amostras, água ultrapura foi usada como controle
559 negativo, enquanto o DNA extraído de *Leptospira interrogans* sorovar Copenhagen
560 ni str. Fiocruz L1-130 foi utilizado como controle positivo. Os produtos de PCR
561 foram analisados por eletroforese em gel de agarose a 2% e visualizados sob luz
562 ultravioleta após coloração com *gel red*.

563 5.7 SEQUENCIAMENTO E ANÁLISE FILOGENÉTICA

564 Os amplicons secY foram sequenciados usando um *Big Dye Terminator v.*
565 *3.1 Cycle Sequencing Ready Reaction Kit (Applied Biosystems)* em um 3100
566 *Automated DNA Sequencer* de acordo com as instruções do fabricante. Em
567 relação à análise filogenética, foram utilizados os softwares Pairwise/ Blast/NCBI,
568 SeqMan v. 7.0, ClustalX v 2.09 e BioEdit v. 7.0.1 para a edição e análise da
569 sequência. Uma árvore de máxima verossimilhança foi construída usando o
570 modelo Tamura-Nei (TN92) no software MEGA 11, pois foi determinado como
571 modelo de substituição de DNA de melhor ajuste, pelo critério de informação
572 Bayesiano.

573 5.8 ANÁLISE ESTATÍSTICA

574 Os parâmetros avaliados foram: taxas de COCs de boa qualidade (n de
575 Grau 1 e 2 COCs ×100 / n de óócitos totais recuperados por vaca); COCs viáveis
576 (n de COCs Graus 1, 2 e 3 ×100 / n de óócitos totais recuperados por vaca);
577 clivagem (n de estruturas clivadas ×100 / n de COCs viáveis); blastocisto/COCs
578 viáveis (n de blastocistos ×100/ n de COCs viáveis); e blastocisto/clivado (n de
579 blastocistos ×100/ n de estruturas clivadas); média de COCs de boa qualidade e
580 blastocistos produzidos por fêmea.

581

582

583

584 6 CAPÍTULO I

585

586 **Bovine genital leptospirosis: evidence of ovarian infection by *Leptospira***
587 ***interrogans***

588

589

590

591 *Leptospirose genital bovina: evidência de infecção ovariana por*
592 ***Leptospira interrogans***

593

594

595

596

597

598

599

600

601

602

603 **Artigo publicado no periódico:** Veterinary Microbiology

604 **Em:** 17 de novembro de 2021

605 **Qualis:** A1 – Medicina Veterinária

606 Bovine genital leptospirosis: evidence of ovarian infection by *Leptospira* 607 *interrogans*

608

609 Paulo Victor dos Santos Pereira^a, Maria Isabel Nogueira Di Azevedo^b, Ana Luiza
610 dos Santos Baptista Borges^b, Ana Paula Loureiro^b, Gabriel Martins^b, Filipe Anibal
611 Carvalho-Costa^c, Joanna Maria Gonçalves Souza-Fabjan^a, Walter Lilenbaum^b

612

⁶¹³ ^aFaculdade de Veterinária, Universidade Federal Fluminense, Rua Vital Brasil
⁶¹⁴ Filho, 64, Niterói, RJ CEP: 24320-340, Brazil.

^b Laboratório de Bacteriologia Veterinária, Instituto Biomédico, Niterói, Universidade Federal Fluminense, Alameda Barros Terra, 57, Niterói, RJ CEP: 24020-150, Brazil.

⁶¹⁸ ^c Laboratório de Epidemiologia e Sistemática Molecular, Instituto Oswaldo Cruz,
⁶¹⁹ Fundação Oswaldo Cruz, Rio de Janeiro, Brazil.

620

621 Funding Information

622 Fundação Carlos Chagas Filho de Amparo à Pesquisa do Estado do Rio de
623 Janeiro: Financiadora do Projeto.

624 Coordenação de Aperfeiçoamento de Pessoal de Nível Superior; Financiadora de
625 Estudos.

626

627 6.1 ABSTRACT

628 Leptospirosis in ruminants causes reproductive failures leading to important
629 economic losses. This study assessed the occurrence and genetically identified
630 *Leptospira* spp. in the follicular fluid (FF) of naturally infected live cows. A total of
631 251 asymptomatic cows from different commercial dairy herds were subjected to
632 ovum-pick up technique for follicular fluid sampling. PCR was performed for
633 *Leptospira* spp. detection and phylogenetic analysis was later implemented for
634 sequencing. From 251 samples analyzed, 67 (26.7 %) were *lipL32*-PCR positive,
635 confirming the presence of leptospiral DNA on FF. Furthermore, it was possible to
636 amplify and sequence nine strains after *secY* nested-PCR. All of them were
637 identified as *L. interrogans*, with 100 % of identity with strains belonging to Sejroe
638 serogroup. Our findings reveal a high occurrence of infection of *Leptospira* in the
639 ovary of asymptomatic cows, highlighting the importance of considering the
640 silent leptospirosis syndrome when screening animals for assisted reproductive
641 biotechniques.

642 **Keywords:** Reproductive biotechniques; *lipL32*; *secY*; Sejroe serogroup.

643 6.2 INTRODUCTION

644 Leptospirosis is a worldwide zoonotic disease caused by pathogenic
645 bacteria of the genus *Leptospira* (Ellis, 2015). Bovine leptospirosis can be clinically
646 defined by a reproductive disease (Loureiro and Lilenbaum, 2020), leading to
647 important economic losses. In addition to disorders such as stillbirth, birth of weak
648 products (Ellis, 2015) and irregular estrus recurrence, early embryonic death is one
649 of the consequences observed in infection by *Leptospira* spp. (Libonati et al., 2018;
650 Oliveira et al., 2021). The mechanisms that lead to this result are still poorly
651 understood, being of vital importance for the establishment of health management
652 measures. Loureiro and Lilenbaum (2020), named this chronic, silent, and
653 restricted to the genital tract as bovine genital leptospirosis (BGL).

654 In slaughterhouse-derived reproductive tissues, leptospiral infection has
655 been detected in uteri, in 18 % of paraffined samples (Pires et al., 2018) and 26 %
656 of fresh tissues (Di Azevedo et al., 2020) of cows, as well as, for the first time, in
657 follicular fluid (FF), in 11 % of cows (Di Azevedo et al., 2021). However, these data
658 could be biased/overestimated due to their slaughterhouse origin, since
659 reproductive failure is a common cause of slaughter. Due to these intriguing
660 results, we designed the present study, with a larger number of samples obtained
661 from asymptomatic live cows of different herds subjected to *in vitro* embryo
662 production routines. Based on this, the present study aimed to investigate the
663 possibility of *Leptospira* spp. infection in ovaries of naturally infected live cows.

664 6.3 METHODS

665 This study was carried out after approval of the Animal Ethics Committee of
666 the Universidade Federal Fluminense (protocol #8688190919). A total of 251
667 crossbred pluriparous cows from different commercial dairy herds of medium to a
668 high degree of technification and with no apparent clinical signs of leptospirosis
669 were used.

670 The sampling of FF was performed using the ultrasound-guided follicular
671 aspiration technique or *ovum* pick-up (OPU) (Arashiro et al., 2013). OPU was
672 performed using a portable ultrasound apparatus (Prosound 2® - Aloka-Hitachi,
673 Twinsburg, Ohio, USA) equipped with an intra-vaginal microconvex transducer (7.5
674 MHz) attached to the needle guide (WTA, Cravinhos, SP, Brazil). Aiming to
675 preserve the health status of oocyte donors as well as the quality of the future
676 embryos, the needle guide system was wrapped in a sanitary sheath, avoiding the
677 contact of the needle with urine and vaginal microbiota. During collection, the
678 sanitary sheath was broken after passing the urinary ostium, allowing the needle to
679 be exposed only in the region of the vaginal fornix. After the OPU of each animal,
680 the sanitary sheath and the needle were replaced to avoid cross-contamination.
681 This procedure prevented contamination of the follicular aspirate with *Leptospira*
682 from a site other than the ovary. The aspirate was poured into an embryo collection
683 cup (WTA) and, after filtration, 2 mL were frozen at – 25 °C, until molecular
684 analysis.

685 DNA was extracted using a DNeasy® Blood & Tissue Kit (Promega,
686 Madison, EUA), following the manufacturer's instructions. PCR was first performed
687 targeting the *lipL32* gene for *Leptospira* spp. detection (Hamond et al., 2015).
688 Afterwards, *lipL32* positive samples were subjected to a nested PCR targeting a
689 partial region of the *secY* gene (410 bp) – a genetic marker with a good taxonomic
690 resolution for *Leptospira* species definition and for establishing relationships with
691 related strains (Di Azevedo and Lilenbaum, 2021; Lam et al., 2020) - as described
692 by Grillová et al. (2020). For each set of samples, ultrapure water was used as a
693 negative control, while DNA extracted from *Leptospira interrogans* serovar
694 Copenhageni str. Fiocruz L1–130 was used as a positive control. PCR products
695 were analyzed by electrophoresis in 2 % agarose gel and visualized under UV light
696 after gel red staining. SecY amplicons were directly sequenced using a Big Dye
697 Terminator v. 3.1 Cycle Sequencing Ready Reaction Kit (Applied Biosystems) in a
698 3100 Automated DNA Sequencer according to the manufacturer's instructions.

699 Regarding phylogenetic analysis, Pairwise/Blast/NCBI, SeqMan v. 7.0,
700 ClustalX v 2.0 (Larkin et al., 2007) and BioEdit v. 7.0.1 (Hall, 1999) software were
701 used for the editing and sequence analysis. A maximum likelihood tree was
702 constructed using the Tamura-Nei model (TN92) in MEGA X software (Kumar et
703 al., 2018), as it was determined to be the best-fitting model of DNA substitution, by
704 the Bayesian information criterion.

705 6.4. RESULTS

706 From 251 samples analyzed, 67 (26.7 %) were *lipL32*-PCR positive,
707 confirming the presence of leptospiral DNA in FF of cows. From these, it was
708 possible to amplify and sequence nine strains after secY nested-PCR, producing a
709 410 bp fragment. Sequences were deposited on GenBank under accession nos.
710 MZ773519 – MZ773527. Pairwise/Blast/NCBI comparisons with the GenBank secY
711 gene dataset identified all of them as *L. interrogans*, with 100 % of identity with
712 strains belonging to Sejroe serogroup, most probably genotype Hardjo.
713 Phylogenetic analysis based on mL-TN92 tree included sequences from the
714 present study and GenBank secY *Leptospira* spp. sequences from bovine,
715 including species and serovars most commonly identified in cattle. It was possible
716 to observe sequences from the present study clustering with maximum support
717 (bootstrap = 100 %) with *L. interrogans* species (Fig. 1), confirming species
718 identity. Moreover, they formed a subcluster with sequences belonging to Sejroe
719 serogroup, serovar Hardjo, all from the same geographical location (grey rectangle
720 on Fig. 1). Not surprisingly, this subcluster also included sequences previously
721 deposited by our group from *L. interrogans* serogroup Sejroe from FF (FF 13) and
722 uterine fragment (UF 24 and UF 21).

723 6.5. DISCUSSION

724 Our findings demonstrate the leptospiral infection in the ovaries of cows
725 used on *in vitro* embryo production programs, even greater than the 11 %
726 previously reported in slaughterhouse cows (Di Azevedo et al., 2021). Surprisingly,

727 encouraged by the results of the previous study, when we decided to increase the
728 number of studied cows and tried to eliminate the possible bias of culled animals,
729 instead of the expected lower occurrence, we have observed more than twice the
730 rate of PCR-positive follicular fluids samples. This scenario is challenging, since
731 the animals did not present apparent symptoms of infection, making it difficult to
732 diagnose and control leptospirosis. In this study, due to the fact that cows are used
733 as oocyte donors and are rarely pregnant, together with the fact that this disease is
734 chronic and silent, signs such as early embryonic death and irregular repetition of
735 estrus are rarely observed. This silent aspect of leptospirosis in cattle has already
736 been described (Ellis, 2015; Libonati et al., 2018; Loureiro and Lilenbaum, 2020; Di
737 Azevedo et al., 2020) and was reinforced by the present study. In the current
738 study, we aimed to assess specifically the disease caused by genital infection, as
739 our research group previously demonstrated (Loureiro et al., 2017; Libonati et al.,
740 2018; Pires et al., 2018; Di Azevedo et al., 2020, 2021; Oliveira et al., 2021). We
741 believe that there is enough evidence in the literature pointing to the fact that the
742 infection affecting kidney and the reproductive tract are distinct, caused by different
743 *Leptospira* strains, and they do lead to different diseases (Loureiro and Lilenbaum,
744 2020).

745 The present outcomes corroborate with Di Azevedo et al. (2021) that
746 genetically identify *Leptospira* spp. in FF of naturally infected cows. Differently from
747 this, the current study reports a large number of samples originated of cows from
748 different herds. Interestingly, the animals were clinically healthy by veterinary
749 evaluation and included in a program of bovine in vitro embryo production.

750 Molecular analyses identified the amplicons belonging to *L. interrogans* with
751 high proximity to Hardjoprajitno type strains, belonging to Sejroe serogroup. Those
752 strains are frequently related to reproductive infection in cows detected in uterine
753 tissue (Ellis and Thiermann, 1986; Pires et al., 2018; Di Azevedo et al., 2020), FF
754 (Di Azevedo et al., 2021), and aborted fetuses (Ellis et al., 1982). Members of this
755 serogroup are related with chronic infection in ruminants (Rocha et al., 2018) and

756 strongly associated with uterine infection in hamsters (Pinto et al., 2020).
757 Seroreactivity against this serogroup is often associated with reproductive
758 problems in cows (Fávero et al., 2017), such as estrus repetition (Libonati et al.,
759 2018; Oliveira et al., 2021). Ellis (2015) describes cattle as a maintenance host for
760 strains of Sejroe serogroup, including strains that have preference and certain level
761 of adaptation to genital tract.

762 **6.6. CONCLUSION**

763 The present study confirms the ovarian infection caused by strains of
764 *Leptospira interrogans* belonging to Sejroe serogroup, historically associated with
765 reproductive problems, using a large number of samples in asymptomatic cows.
766 These findings raise the importance of considering this chronic and silent
767 syndrome when screening animals for reproductive biotechniques, due to the high
768 cost involved.

769

770 **Declaration of Competing Interest**

771 The authors report no declarations of interest.

772

773 **Acknowledgements**

774 The authors are grateful for the help of Arthur Almeida, Luciano Carvalheira,
775 Nathalia Barbosa, Rodrigo Rodrigues, Rafaela Oliveira, Tamara Coelho, and
776 Wesley Donizetti for assistance in the FF collection. We thank to the Program for
777 Technological Development in Tools for Health-PDTIS/FIOCRUZ for allowing us to
778 use its facilities. We thank to Fundação Carlos Chagas Filho de Amparo à
779 Pesquisa do Estado do Rio de Janeiro (FAPERJ) and Coordenação de
780 Aperfeiçoamento de Pessoal de Nível Superior – Brasil (CAPES) for partially

781 funding the study (Finance code 001). PVSP is a CAPES fellow, MINDA is a
782 FAPERJ fellow; FACC, JMGS-F, and WL are FAPERJ and CNPq fellows.

783

784 6.7. REFERENCES

785 Arashiro, E.K., Palhao, M.P., Wohlres-Viana, S., Siqueira, L.G., Camargo,
786 L.S., Henry, M., Viana, J.H., 2013. *In vivo* collection of follicular fluid and granulosa
787 cells from individual follicles of different diameters in cattle by an adapted ovum
788 pick-up system. Reprod. Biol. Endocrinol. 11 (1), 1–8.

789 Di Azevedo, M.I.N., Lilenbaum, W., 2021. An overview on the molecular
790 diagnosis of animal leptospirosis. Lett. Appl. Microbiol. 72 (5), 496–508.

791 Di Azevedo, M.I.N., Pires, B.C., Libonati, H., Pinto, P.S., Barbosa, L.F.C.,
792 Carvalho-Costa, F.A., Lilenbaum, W., 2020. Extra-renal bovine leptospirosis:
793 molecular characterization of the *Leptospira interrogans* Sejroe serogroup on the
794 uterus of nonpregnant cows. Vet. Microbiol. 250, 108869.

795 Di Azevedo, M.I.N., Pires, B.C., Barbosa, L.F.C., Carvalho-Costa, F.A.,
796 Lilenbaum, W., 2021. Characterization of leptospiral DNA in the follicular fluid of
797 non-pregnant cows. Vet. Rec. 188 (9), e134.

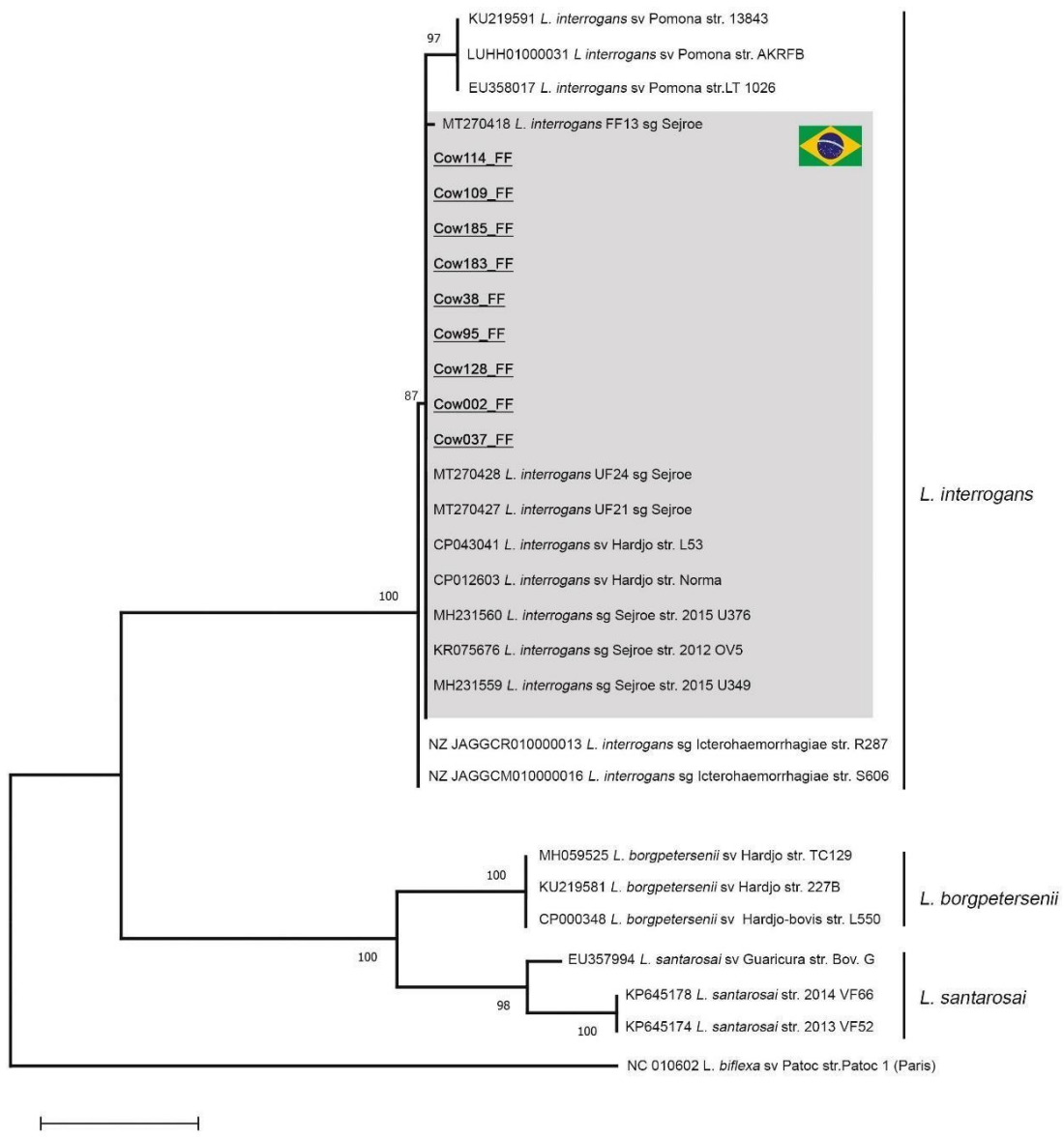
798 Ellis, W.A., O'brien, J.J., Neill, S.D., Ferguson, H.W., Hanna, J., 1982.
799 Bovine leptospirosis: microbiological and serological findings in aborted fetuses.
800 Vet. Rec. 110 (7), 147–150.

801 Ellis, W.A., Thiermann, A.B., 1986. Isolation of leptospires from the genital
802 tracts of Iowa cows. Am. J. Vet. Res. 47, 1694–1696.

803 Ellis, W.A., 2015. Animal leptospirosis. Curr. Top. Microbiol. Immunol. 387,
804 99–137.

- 805 Fávero, J.F., de Araújo, H.L., Lilenbaum, W., Machado, G., Tonin, A.A.,
806 Baldissera, M.D., Stefani, L.M., Da Silva, A.S., 2017. Bovine leptospirosis:
807 prevalence, associated risk factors for infection and their cause-effect relation.
808 Microb. Pathog. 107, 149–154.
- 809 Grillová, L., Angermeier, H., Levy, M., Giard, M., Lastère, S., Picardeau, M.,
810 2020. Circulating genotypes of *Leptospira* in French Polynesia: a 9-year molecular
811 epidemiology surveillance follow-up study. PLoS Negl. Trop. Dis. 14 (9), e0008662,
812 28.
- 813 Hall, T., 1999. BioEdit: a user-friendly biological sequence alignment editor
814 and analysis program for Windows95/98/NT. Nucl. Acids Symp. 41, 95–98.
- 815 Hamond, C., Pestana, C.P., Rocha-de-Souza, C.M., Cunha, L.E.R.,
816 Brandão, F.Z., Medeiros, M.A., Lilenbaum, W., 2015. Presence of leptospires on
817 genital tract of mares with reproductive problems. Vet. Microbiol. 179, 264–269.
- 818 Kumar, S., Stecher, G., Li, M., Knyaz, C., Tamura, K., 2018. MEGA X:
819 molecular evolutionary genetics analysis across computing platforms. Mol. Biol.
820 Evol. 35, 1547–1549.
- 821 Lam, J.Y., Low, G.K., Chee, H.Y., 2020. Diagnostic accuracy of genetic
822 markers and nucleic acid techniques for the detection of *Leptospira* in clinical
823 samples: a metaanalysis. PLoS Negl. Trop. Dis. 14, e0008074.
- 824 Larkin, M.A., Blackshields, G., Brown, N.P., Chenna, R., McGgettigan, P.A.,
825 McWilliam, H., Valentim, F., Wallace, I.M., Wilm, A., Lopez, R., Thompson, J.D.,
826 Gibson, T.J., Higgins, D.G., 2007. Clustal W and Clustal X version 2.0.
827 Bioinformatics 23 (21), 2947–2948.
- 828 Libonati, H.A., Santos, G.B., Souza, G.N., Brandão, F.Z., Lilenbaum, W.,
829 2018. Leptospirosis is strongly associated to estrus repetition on cattle. Trop. Anim.
830 Health Prod. 50, 1625–1629.

- 831 Loureiro, A.P., Lilenbaum, W., 2020. Bovine genital leptospirosis: a new look
832 for an old disease. Theriogenology 141, 41–47.
- 833 Loureiro, A.P., Pestana, C., Medeiros, M.A., Lilenbaum, W., et al., 2017.
834 High frequency of leptospiral vaginal carriers among slaughtered cows. Anim.
835 Reprod. Sci. 178, 50–54. <https://doi.org/10.1016/j.anireprosci.2017.01.008>.
- 836 Oliveira, G.D.M., Garcia, L.A.N., Soares, L.A.P., Lilenbaum, W., de Souza,
837 G.N., 2021. Leptospirosis by Sejroe strains leads to embryonic death (ED) in herds
838 with reproductive disorders. Theriogenology 174, 121–123.
- 839 Pinto, P.S., Barbosa, C., Ferreira, A.M.R., Lilenbaum, W., 2020. Uterine
840 leptospiral infection is strongly associated to strains of serogroup Sejroe on
841 experimentally infected hamsters. Microb. Pathog. 142, 104030.
- 842 Pires, B.C., Berzin Grapiglia, J., Moreira, L., Jaeger, L.H., Carvalho-Costa,
843 F.A., Lilenbaum, W., 2018. Occurrence of uterine carriers for *Leptospira*
844 *interrogans* on slaughtered cows. Microb. Pathog. 114, 163–165.
- 845 Rocha, B.R., Balaro, M., Pereira, P.V., Martins, G., Lilenbaum, W., 2018.
846 Chronic experimental genital leptospirosis with autochthonous *Leptospira*
847 *santarosai* strains of serogroup Sejroe. Small Rumin. 164, 28–31.



848

Fig. 1. Maximum likelihood phylogenetic tree inferred from partial *secY* gene sequences (410 bp) from the present study (bold and underlined) and GenBank sequences from *Leptospira* spp. most common identified in bovine (serovars, strains and accession numbers are shown). Gray rectangle with Brazilian flag represents sequences from *L. interrogans* serogroup Sejroe from the same geographical region. *Leptospira biflexa* strain Patoc is the outgroup taxa.

855 **7 CAPÍTULO II**

856

857

858

859

860

861

862 **The presence of *Leptospira* sp. in the follicular fluid affects the oocyte**
863 **developmental competence during *in vitro* embryo production**

864

865

866

867 *A presença de Leptospira sp. no fluido folicular afeta a competência ao*
868 *desenvolvimento do oócito durante a produção in vitro de embriões*

869

870

871

872

873

874

875 **Artigo em preparo para submissão**

876

877 The presence of *Leptospira* sp. in the follicular fluid affects the oocyte
878 developmental competence during *in vitro* embryo production

879

880 Paulo Victor dos Santos Pereira^a, Maria Isabel Nogueira Di Azevedo^b, Eduardo
881 Kenji Nunes Arashiro^a, Yeda Fumie Watanabe^c, Walter Lilenbaum^b, Joanna Maria
882 Gonçalves Souza-Fabjan^a

883

884

⁸⁸⁵ ^a Faculdade de Veterinária, Universidade Federal Fluminense, Rua Vital Brasil
⁸⁸⁶ Filho, 64, Niterói, RJ CEP: 24320-340, Brazil.

^b Laboratório de Bacteriologia Veterinária, Instituto Biomédico, Niterói, Universidade Federal Fluminense, Alameda Barros Terra, 57, Niterói, RJ CEP: 24020-150, Brazil.

890 © Watanabe Tecnologia Aplicada, Avenida Coronel José Nogueira Terra, 233,
891 Cravinhos, SP, CEP: 14140-000, Brazil.

892

893

894 Funding Information

895

896 Fundação Carlos Chagas Filho de Amparo à Pesquisa do Estado do Rio de
897 Janeiro: Financiadora de Estudos e Projeto.

898 Coordenação de Aperfeiçoamento de Pessoal de Nível Superior; Financiadora de
899 Estudos.

900

901 7.1 ABSTRACT

902 Leptospirosis has an important role among infectious diseases that affect
903 reproductive efficiency. The relationship between *Leptospira* infection and
904 reproductive failures, as well as the mechanisms that lead to it, have not yet been
905 established. We hypothesize that the presence of *Leptospira* in the follicular fluid
906 (FF) of naturally infected cows could impair the oocyte developmental competence.
907 Thus, the present study evaluated the impact of the presence of *Leptospira* spp. in
908 the FF on *in vitro* embryo production outcomes. A total of 244 multiparous
909 crossbred donor dairy cows belonging to different farms subjected to the ovum
910 pick-up were used. After PCR analysis, cows were retrospectively allocated into
911 either: POS-FF (positive) or NEG-FF (negative) group, i.e., the bacterial DNA
912 presence was or was not detected in the FF, respectively. Of note, 65% of farms
913 had at least one POS-FF cow for *Leptospira* in the herd, with the POS-FF rate
914 varying between one and 15 animals within each farm (13% to 60%). The NEG-FF
915 and POS-FF cows presented, respectively: 88.2 ± 1.0 and $92.8 \pm 1.6\%$ of viable
916 COCs ($P < 0.05$), 75.7 ± 1.3 and $76.0 \pm 2.5\%$ of good-quality COCs ($P > 0.05$), and of
917 66 ± 1.6 and $63 \pm 2.6\%$ of cleavage rate ($P > 0.05$). The blastocyst rates, however,
918 were greater ($P < 0.05$) in the NEG-FF cows: 41 ± 2.2 vs $32 \pm 3.6\%$ for the
919 blastocyst/cleaved embryos and 28 ± 1.7 vs $20 \pm 2.4\%$ for the blastocyst/viable COC
920 rate. In conclusion, the presence of *Leptospira* spp. in the FF of naturally infected
921 cows did not affect the COC morphology and its nuclear maturation; however, it
922 impaired the oocyte developmental competence, decreasing the overall efficiency
923 of *in vitro* embryo production technique. It remains to be elucidated if the effect of
924 *Leptospira* spp. in the FF is either direct, indirect, or both; this definition will aid the
925 implementation of control measurements.

926 **Keywords:** bovine genital leptospirosis, embryonic death, FIV, IVEP.

927 7.2 INTRODUCTION

928 Reproductive efficiency is the factor that mostly affects the productivity and
929 profitability of cattle herds [1]. *In vitro* embryo production (IVEP) aims to increase
930 the multiplication of females with greater genetic merit, including those with
931 acquired subfertility or infertility [2], and reduce the generation interval [3]. This
932 technology is well spread worldwide in the bovine industry, and currently is the
933 most used technique for bovine embryo production, surpassing the number of
934 embryos produced *in vivo* [4]. Despite the great dissemination of IVEP, it is well
935 known that the quality and quantity of the resulting embryos can be reduced due to
936 the presence of infectious agents in the female reproductive tract, which could also
937 be transmitted to the recipients and progeny [5].

938 Among the infectious diseases that affect reproductive efficiency,
939 leptospirosis has an important role. This zoonosis is caused by spirochetes of the
940 genus *Leptospira*, which are cosmopolitan organisms responsible for disease in
941 animals and humans [6]. Due to its ability to be a silent disease [7], the overall
942 reproductive outcomes can be compromised, leading to major economic losses [8].
943 In addition to disorders such as fetal losses, the birth of weak offspring [9], and
944 irregular estrus recurrence [10], embryo death is one of the consequences
945 observed in the genital syndrome of leptospirosis [11]. The mechanisms by which
946 the latter happens are still poorly understood, even though they are of vital
947 importance for the establishment of appropriate health management measures.

948 In cows destined for slaughter, our group detected *Leptospira* spp. by PCR
949 in 26% (11/42) of uterine fragments [12] and 11% (7/65) of FF samples [13].
950 Interestingly, in a different study, when using specifically cows destined for
951 slaughter due to reproductive problems, 37% (18/48) of the females were positive
952 for *Leptospira* spp. in genital samples [14]. Although the number of observations
953 was low, it is interesting to note that when nine cows with a history of subfertility
954 were examined, six of them (66%) were positive for *Leptospira* spp. [15]. To
955 highlight the economic losses caused by the *Leptospira* spp. presence in the

956 reproductive tract, when the same cows were assessed monthly throughout one
957 year, 75% of reactive animals showed a history of embryonic death, while 20% of
958 them had miscarriages [11].

959 In cattle, the Sejroe serogroup is adapted and has a major role in the
960 colonization of the reproductive tract, particularly Hardjo serovars as Hardjoprajitno
961 and Hardjobovis [17], as well as Guaricura [14] strains. The evidence indicates that
962 these strains have been associated with the silent and chronic reproductive form of
963 the disease, named bovine genital leptospirosis (BGL) [18], and have been
964 reported on cervicovaginal mucus [19], uteri [20, 12, 15, 14], and follicular fluid (FF)
965 [13, 21]. Two main hypotheses have been considered [18] about embryonic losses
966 and consequent estrus repetition, as a result of BGL: the first one, the bacterium
967 infects the uterus, generating a local inflammation and altering the uterine
968 environment, consequently compromising the implantation and survival of the
969 embryo; while in the second hypothesis, the bacteria penetrate the embryo and
970 directly damage the embryonic cells. Progress made by different research groups
971 lead to a third hypothesis, in which Gram-negative bacteria present in the FF cause
972 indirect damage to the oocyte, either by experimental infection [22, 23] or by
973 natural infection [24, 25]. The cell and outer envelope of *Leptospira* are similar to
974 that of Gram-negative bacteria and are composed of lipopolysaccharides (LPS)
975 [17]. The presence of LPS in the FF may have negative consequences on fertility
976 due to interference with ovarian steroidogenesis [24] and the developmental
977 competence of oocytes [22, 23], causing reproductive failure [25].

978 The relationship between *Leptospira* infection and reproductive failures, as
979 well as the mechanisms that lead to it, have not yet been established. We
980 hypothesize that the presence of *Leptospira* in the FF of naturally infected cows
981 could impair the developmental competence of the derived oocytes and we used
982 the IVEP technique to reliably test it. Based on this, the present study aimed to
983 determine the effect of FF natural *Leptospira* spp. infection on the oocyte
984 developmental competence and overall efficiency of *in vitro* embryo production.

985 7.3 MATERIAL AND METHODS

986 7.3.1 ETHICS, LOCATION, AND EXPERIMENTAL CONDITIONS

987 This study was carried out according to the guidelines of the Ethics
988 Committee on the Use of Animals of the Federal Fluminense University (CEUA /
989 UFF), being approved under the number 8688190919. Sample collections and the
990 entire IVEP procedure were both carried out in four distinct laboratories that signed
991 partnerships. A total of 244 non-pregnant multiparous crossbreed dairy cows with
992 no apparent clinical signs of leptospirosis, belonging to 20 different commercial
993 herds of medium to a high degree of technification, in Minas Gerais and São Paulo
994 States, Brazil, were used. On a random day of the estrous cycle, the collection of
995 cumulus-oocyte complexes (COCs) and FF was performed in antral follicles using
996 the ovum pick-up technique (OPU). Within the Laboratory of Veterinary
997 Bacteriology of UFF, the FF obtained was subjected to PCR to identify the
998 presence of *Leptospira* spp. DNA and the animals were further allocated into
999 either: POS-FF (positive) or NEG-FF (negative) group. The viable COCs were
1000 submitted to the IVEP (COCs from each female were kept separately in each
1001 well/drop throughout the culture), and all the outcomes were compared in both
1002 groups, to demonstrate whether the presence of *Leptospira* spp. may decrease the
1003 overall effectiveness of IVEP.

1004 7.3.2 COLLECTION OF COCS AND FF

1005 Sacral epidural anesthesia was performed between the fifth sacral vertebra
1006 and the first coccygeal vertebra, using 4.5 mL of 2% lidocaine hydrochloride
1007 (Lidovet® - Bravet, Rio de Janeiro, RJ, Brazil). The sampling of FF was performed
1008 by the OPU technique [26], aided by a portable ultrasound equipment (Prosound
1009 2® - Aloka-Hitachi, Twinsburg, Ohio, USA) equipped with an intra-vaginal micro
1010 convex transducer (7.5 MHz) attached to the needle guide (WTA, Cravinhos, São
1011 Paulo, Brazil). Importantly, the transducer was protected with a sanitary sheath
1012 changed at every aspiration, to avoid cross-contamination between animals. The
1013 aspiration was performed using disposable 20G needles (WTA) connected to a

1014 1.20 m Teflon circuit (WTA). This circuit was cleaned between aspirations from
1015 different cows using PBS+ATB medium. The system was then connected to a
1016 vacuum pump (BV-003 WTA) that generates a negative pressure (-80 mmHg
1017 and -100 mmHg). The aspirate was then deposited in a 50 mL conic tube, which
1018 was sent to the laboratory, where its contents were poured into an oocyte filter
1019 (WTA). After filtration, 2 mL of FF+aspirate medium were stored in a conical
1020 microtube and frozen at -25 °C until DNA extraction for *Leptospira* identification.

1021 7.3.3 IVEP

1022 7.3.3.1 SCREENING AND CLASSIFICATION

1023 The follicular aspirate was filtered into a 75 µm filter (WTA) to eliminate
1024 other cells and cellular debris, facilitating the visualization of COCs. The filter was
1025 smoothly washed using PBS + gentamicin (IMV Technologies, Campinas, São
1026 Paulo, Brazil) solution heated to 37.5 °C so that the COCs retained in the filter are
1027 retrieved. The COCs were then deposited on a 60 x 15 mm plastic Petri dish,
1028 which was taken to a stereoscope microscope (NSZ 405® - Coleman, Santo André,
1029 São Paulo, Brazil) for classification. The classification of COCs was based on their
1030 number of *cumulus* cell layers and the appearance and texture of the ooplasm. All
1031 laboratories used the classification in four stages: Grade I (COCs with
1032 homogeneous ooplasm and multiple layers of *cumulus* cells), Grade II (COCs with
1033 granules in the ooplasm and with at least four layers of *cumulus* cells), Grade III
1034 (COCs containing at least one to three layers of *cumulus* cells or granules in the
1035 cytoplasm), and Grade IV (COCs with degeneration or absence of *cumulus* cells
1036 and heterogeneous ooplasm). Those COCs classified as Grade I and Grade II
1037 were rated as good quality; Grade I, Grade II, and Grade III were considered viable
1038 and used in the *in vitro* maturation step. Grade IV COCs were considered
1039 degenerated and discarded.

1040 7.3.3.2 IVM OF OOCYTES

1041 Due to the number of laboratories involved in this study, the methodology
1042 differs slightly from one laboratory to another. In general, all companies used
1043 commercial media based on TCM-199 medium supplemented with hormones and
1044 other substances, depending on each laboratory. After recovery, approximately 10
1045 to 30 COCs were washed and transferred to four-well dishes containing 500 µL of
1046 supplemented media. The IVM step was considered as Day 0 and occurred under
1047 mineral oil for an average of 22 to 24 h at 38.5 °C and under 5% CO₂ in humidified
1048 air.

1049 7.3.3.3 IVF OF EMBRYOS

1050 After the IVM, the matured oocytes were washed in 50 µL of F-TALP
1051 medium used for IVF and transferred to 60 µL drops on a plastic Petri dish. All
1052 semen straws used were obtained from breeding centers, from certified bulls with
1053 negative serology for *Leptospira* spp.. Thawing was performed in a defroster
1054 (Semen and Embryo®, WTA) under 35 °C for 30 s, then semen was submitted to a
1055 Percoll gradient. After centrifugation, the supernatant was removed and 400 µL of
1056 IVF medium was added, with new centrifugation at 200 x g for 5 min. Then, the
1057 supernatant was removed, the remaining solution was homogenized, and 6 µL was
1058 used to inseminate the drop. IVF occurred using a concentration of 1x10⁶
1059 spermatozoa/mL for 24 h at 38.5 °C with 5% CO₂ in humidified air.

1060 7.3.3.4 IVC OF EMBRYOS

1061 After 18 h of fertilization, presumptive zygotes were gently pipette to
1062 mechanically remove the *cumulus* cell. Then, they were cultured *in vitro* in
1063 synthetic oviduct fluid (SOF) medium supplemented according to each laboratory
1064 in 70 µL drops containing 10 to 30 structures for 8 d at 38.5 °C, in a humidified
1065 atmosphere with 5% CO₂. The culture medium was renewed on the 4th day and on
1066 the 6th day. Embryo cleavage was assessed at 48 h post-fertilization and
1067 the blastocyst rate was evaluated on the 7th day. On the 8th day after the beginning
1068 of IVM, the embryos that reached the blastocyst stage were transferred to 0.25 mL

1069 straws with H-SOF medium. The straws were then sealed and placed in an embryo
1070 transporter (WTA) at 38 °C, until their transfer to recipients.

1071 7.3.4 MOLECULAR DIAGNOSIS AND GENETIC ANALYSIS OF *LEPTOSPIRA*
1072 SPP.

1073 FF samples (n=240) were submitted to DNA extraction, followed by *lipL32*-
1074 PCR, *secY* gene sequencing, and phylogenetic analysis, according to dos Santos
1075 Pereira [21]. DNA was extracted using a DNeasy® Blood & Tissue Kit (Promega,
1076 Madison, EUA), following the manufacturer's instructions. Polymerase chain
1077 reaction (PCR) was first performed targeting the *lipL32* gene for *Leptospira* spp.
1078 detection [27]. Afterward, *lipL32* positive samples were subjected to a nested PCR
1079 targeting a partial region of the *secY* gene. Regarding phylogenetic analysis, the
1080 Pairwise/Blast/NCBI, SeqMan v. 7.0, Clustal X v 2.0 [28] and BioEdit v. 7.0.1 [29]
1081 softwares were used for the editing and sequence analysis. The phylogenetic
1082 characterization of the *Leptospira* spp. detected was published in a previous study
1083 [21].

1084 7.3.5 ENDPOINTS AND STATISTICAL ANALYSIS

1085 Endpoints determined were: rates of good-quality COCs (nb of Grade 1 and
1086 2 COCs ×100 / nb of total oocytes recovered per cow); viable COCs (nb of Grade
1087 1, 2 and 3 COCs ×100 / nb of total oocytes recovered per cow); cleavage (nb of
1088 cleaved structures ×100 / nb of viable COCs); blastocyst /viable COCs (nb of
1089 blastocysts ×100 / nb of viable COCs); and blastocyst/cleaved (nb of blastocysts
1090 ×100/ nb of cleaved structures). The viable COCs, cleavage, and blastocyst rates
1091 were submitted to angular transformation (arcosine) and analyzed by ANOVA,
1092 considering P<0.05 as significant.

1093 7.4 RESULTS

1094 Of the 20 herds evaluated, 13 (65%) of them had at least one POS-FF cow
1095 for *Leptospira*, with the POS-FF rate varying between one and 15 animals within
1096 each farm (13% to 60%). Regarding the average of structures obtained from each

1097 group, the NEG-FF group presented an average of 4.349 viable COCs used in the
1098 IVEP system, generating 2.666 cleaved structures and 1.139 blastocysts. The
1099 POS-FF group presented 1.423 viable COCs, 799 cleaved structures and 253
1100 blastocysts. The IVEP outcomes are summarized in Table 1. The viable COCs rate
1101 was higher ($P<0.05$) in POS-FF. Nevertheless, the good-quality COCs and
1102 cleavage rates were similar ($P>0.05$) between both groups. The presence of
1103 *Leptospira* spp. negatively affected ($P<0.05$) both blastocyst rates, decreasing
1104 those by ~ 9% in the POS-FF cows.

1105 7.5 DISCUSSION

1106 Our study used the IVEP technique as a tool to assess the oocyte
1107 developmental competence of cows naturally infected with *Leptospira* spp. in their
1108 FF. We were able to demonstrate, for the first time, that the presence of *Leptospira*
1109 spp. in the FF significantly impairs oocyte competence, confirming our hypothesis.
1110 The number of good-quality COCs and cleavage rate were not significantly
1111 affected by the leptospiral infection. Interestingly, the presence of leptospires in the
1112 FF negatively impacted the blastocyst yield. The number of viable COCs was
1113 greater in the POS-FF group, although we believe this may be a random result
1114 since there is no plausible biological explanation for this; it could also be related to
1115 the intrinsic variation of COCs recovered among donors [30]. The COC
1116 morphology before the IVM remains to be the main strategy worldwide for its
1117 selection, even though it is known this is not a reliable parameter to predict their
1118 competence for development [31].

1119 The exact mechanism triggered by the presence of leptospires in FF on the
1120 oocyte developmental competence is yet to be determined. It can be attributed to a
1121 direct damage to the oocytes, caused by the penetration of the bacterium into the
1122 oocyte [32], or indirect damage, which can be generated due to the presence, even
1123 in small amounts, of LPS endotoxin, which is known to be responsible for ovarian
1124 dysfunction [33, 34, 35]. The former was evidenced by the presence of leptospiral
1125 DNA in oocytes from experimentally infected cows [32] or in an *in vitro* system,

1126 where penetration through the zona pellucida and damage to embryonic
1127 membranes and cytoplasm occurred [36]. The latter would be caused by the
1128 simple presence of this pathogen in the ovarian follicle, being triggered by LPS,
1129 negatively impacting reproductive performance and fertility [37]. The presence of
1130 this compound in FF is associated with disturbance in ovarian steroidogenesis [24]
1131 and oocyte competence [22, 23], causing reproductive failure [25]. Regarding the
1132 uterine mechanism/hypothesis previously raised for the BGL [18], we cannot rule
1133 out the possibility of simultaneous infection in the uterus, which should be tested in
1134 a further study.

1135 In the current study, regardless of the type (direct or indirect) of damage, it is
1136 likely that the bacterium negatively influenced the cytoplasmic maturation of the
1137 oocyte, compromising its development to the blastocyst stage [35]. It is well-known
1138 that cytoplasmic maturation occurs during ovarian folliculogenesis. During this
1139 period, the oocyte undergoes gradual capacitation that involves ultrastructural
1140 changes in organelles, and in the storage of RNA and proteins [38], which together
1141 with nuclear meiotic capacitation, are responsible for the acquisition of essential
1142 cellular functions for oocyte competence [39]. This competence is essential for the
1143 oocytes to properly overcome the 8–16 cells stage, the period of bovine embryonic
1144 genome activation, reaching soon after the blastocyst stage [40].

1145 The cleavage rate was not significantly different between both groups. This
1146 is probably related to the fact that, in addition to the sperm, an adequate nuclear
1147 maturation of the oocyte is usually enough for cleavage to occur. It is important to
1148 emphasize that the cleavage rate observed in this study (on average 65%) was
1149 similar to or slightly lower than those observed in previous studies: 74% [41] and
1150 from 70% to 85% [42]. Two aspects may be considered indeed. In this study, no
1151 hormonal stimulation was applied, an approach usually different from other
1152 countries, but commonly used in Brazilian commercial herds since, despite
1153 affecting the number of embryos produced, the cost-benefit is not always positive
1154 [43]. Moreover, the cleavage and blastocyst rates presented are taking into

1155 consideration the use of Grade III COCs, which are usually discarded worldwide in
1156 research studies, i.e., those not performed in commercial centers. These facts may
1157 be responsible for any slight decrease in those rates compared to the literature.

1158 The developmental competence was decreased in POS-FF cows since the
1159 rates of blastocysts calculated from either total viable COCs or cleaved embryos
1160 were both significantly lower in comparison with the NEG-FF cows. The rate of
1161 blastocyst from the initial number of viable COCs is a reflex of the entire IVEP
1162 success. On the other hand, the blastocyst rate from the cleaved embryos is of
1163 extreme importance regarding the cytoplasmic competence, since it exclusively
1164 provides information about those embryos that were able to overcome the genome
1165 activation stage [44]. Overall, our findings suggest that *Leptospira* spp. was not
1166 able to impact the nuclear maturation, but there tended to affect cytoplasmic
1167 maturation. Of note, in the current study, the blastocyst yield in all groups was
1168 within the normal rates reported in the worldwide literature [45, 46, 47, 41, 42]. This
1169 fact is somehow worrying, since animals were asymptomatic and their blastocyst
1170 yield, despite having decreased in POS-FF group, was still within the normal
1171 range. Therefore, perhaps the true production potential of a cow infected by
1172 *Leptospira* spp. has not yet been observed.

1173 This study has some limitations: Regarding the animal status, unfortunately,
1174 we do not have much information, and since the animals came from 20 different
1175 farms, it is hard to give more details that are common to all of them. We
1176 understand this is a problem, however, we preferred to have those different farms,
1177 to make our analysis more representative and less influenced by a specific
1178 management/farm. In Brazil, it is common to use donor cows for OPU regardless of
1179 the stage of their estrous cycle, thus, assessment of the exact stage of the estrous
1180 cycle is not commercially performed. As a general procedure, all the antral follicles
1181 were aspirated, and in the laboratory, after the classification based on oocyte
1182 morphology the non-viable oocytes were discarded. As this study was carried out
1183 in partnership with private companies, our research group could not have access to

1184 the components of the *in vitro* maturation medium. We understand that this is not
1185 an ideal scenario, but we preferred a partnership to increase the number of
1186 samples in this study and this effect was considered in the statistical analysis. The
1187 pregnancy rate was not evaluated due to the bias that would be caused in this rate,
1188 as there is an influence of the recipient on the viability of the pregnancy.

1189 7.6 CONCLUSION

1190 Under the conditions of the present study, the presence of *Leptospira* spp. in
1191 the FF of naturally infected cows did not affect the COC morphology and its
1192 nuclear maturation, however, it impaired the oocyte developmental competence,
1193 decreasing the overall efficiency of IVEP. These data show that it was possible to
1194 use the IVEP technique as a tool to advance the understanding of the mechanisms
1195 that lead to reproductive failures. Further studies may be performed to identify if
1196 the effect of *Leptospira* spp. in the FF is either direct, indirect, or both; this
1197 definition will aid the implementation of control measurements.

1198

1199 7.7 REFERENCES

1200 [1] Hossein-Zadeh NG. Effects of main reproductive and health problems on
1201 the performance of dairy cows: a review. *Span J Agric Res* 2013;3:718-735.

1202 [2] Sanches BV, Zangirolam AF, Seneda MM. Intensive use of IVF by large-
1203 scale dairy programs. *Anim Reprod* 2019;16:394-401. <https://doi.org/10.21451/1984-3143-AR2019-0058>.

1205 [3] Bouquet A, Juga J. Integrating genomic selection into dairy cattle
1206 breeding programmes: a review. *Animal* 2013;7(5):705. <https://doi.org/10.1017/S1751731112002248>.

1208 [4] Viana J. 2020 Statistics of embryo production and transfer in domestic
1209 farm animals, *Embryo Technology Newsletter* 2021;39(4).

- 1210 [5] Stringfellow DA, Givens MD. Infectious agents in bovine embryo
1211 production: hazards and solutions. *Theriogenology* 2000;53(1):85-94. [https://doi.org/10.1016/S0093-691X\(99\)00242-3](https://doi.org/10.1016/S0093-691X(99)00242-3).
- 1213 [6] Ellis WA. Animal Leptospirosis. In: Adler B. *Leptospira and*
1214 *Leptospirosis*, Berlin: Springer; 2015, p. 99-137. https://doi.org/10.1007/978-3-662-45059-8_6.
- 1216 [7] Loureiro AP, Hamond C, Pinto P, Bremont S, Bourhy P, Lilenbaum W.
1217 Molecular analysis of leptospires from serogroup Sejroe obtained from
1218 asymptomatic cattle in Rio de Janeiro—Brazil reveals genetic proximity to serovar
1219 Guaricura. *Res Vet Sci* 2016;105:249-253. <https://doi.org/10.1016/j.rvsc.2016.02.012>.
- 1221 [8] Rolim MBQ, Barros SEM, Silva VCL, Santana VLA, Souza MA, Harrop
1222 MHV, et al. [Leptospirosis in cattle: a review]. *Medicina Veterinária (UFRPE)*
1223 2012;6(2):26-31.
- 1224 [9] Lilenbaum W, Martins G. Leptospirosis in cattle: a challenging scenario
1225 for the understanding of the epidemiology. *Transbound Emerg Dis* 2014;61:63-68.
1226 <https://doi.org/10.1111/tbed.12233>.
- 1227 [10] Libonati HA, Santos GB, Souza GN, Brandão FZ, Lilenbaum W.
1228 Leptospirosis is strongly associated to estrus repetition on cattle. *Trop Anim Health*
1229 *Prod* 2018;50:1625-1629. <https://doi.org/10.1007/s11250-018-1604-9>.
- 1230 [11] Oliveira GDM, Garcia LAN, Soares LAP, Lilenbaum W, de Souza GN.
1231 Leptospirosis by Sejroe strains leads to embryonic death (ED) in herds with
1232 reproductive disorders. *Theriogenology* 2021;174:121-123. <https://doi.org/10.1016/j.theriogenology.2021.08.022>.
- 1234 [12] Di Azevedo MIN, Pires BC, Libonati H, Pinto PS, Barbosa LFC,
1235 Carvalho-Costa FA, et al. Extra-renal bovine leptospirosis: Molecular characterizati

1236 on of the *Leptospira interrogans* Sejroe serogroup on the uterus of non-pregnant
1237 cows. Vet Microbiol 2020;250,108869. [https://doi.org/10.1016/j.vetmic.2020.108869.](https://doi.org/10.1016/j.vetmic.2020.108869)

1239 [13] Di Azevedo MIN, Pires BC, Barbosa LFC, Carvalho-Costa FA,
1240 Lilenbaum W. Characterization of leptospiral DNA in the follicular fluid of non-
1241 pregnant cows. Vet Rec 2021;188(9), e143. <https://doi.org/10.1002/vetr.143>.

1242 [14] Aymée L, Nogueira Di Azevedo MI, de Souza Pedrosa J, Loria de Melo
1243 JDS, Carvalho-Costa FA, et al. The role of *Leptospira santarosai* serovar
1244 Guaricura as agent of Bovine Genital Leptospirosis. Vet Microbiol 2022 May;268:1
1245 09413. <https://doi.org/10.1016/j.vetmic.2022.109413>. PMID: 35390628.

1246 [15] Aymée L, Gregg WRR, Loureiro AP, Di Azevedo MIN, de Souza
1247 Pedrosa J, de Melo JDSL. Bovine Genital Leptospirosis and reproductive disorders
1248 of live subfertile cows under field conditions. Vet Microbiol 2021;261,109213.
1249 <https://doi.org/10.1016/j.vetmic.2021.109213>.

1250 [17] Adler B. *Leptospira* and *Leptospirosis*. Berlin: Springer; 2015.
1251 https://doi.org/10.1007/978-3-662-45059-8_1.

1252 [18] Loureiro AP, Lilenbaum W. Bovine genital leptospirosis: A new look for
1253 an old disease. Theriogenology 2020;141:41-47. <https://doi.org/10.1016/j.theriogenology.2019.09.011>.

1255 [19] Loureiro AP, Pestana C, Medeiros M, Lilenbaum W. High frequency of
1256 leptospiral vaginal carriers among slaughtered cows. Anim Reprod Sci
1257 2017;178:50-54. <https://doi.org/10.1016/j.anireprosci.2017.01.008>.

1258 [20] Pires BC, Berzin Grapiglia J, Moreira L, Jaeger LH, Carvalho-Costa FA,
1259 Lilenbaum W. Occurrence of uterine carriers for *Leptospira interrogans* on
1260 slaughtered cows. Microb Pathog 2018;114:163-165. <https://doi.org/10.1016/j.micpath.2017.11.056>.

- 1262 [21] dos Santos Pereira PV, Di Azevedo MIN, Borges ALDSB, Loureiro AP,
1263 Martins G, Carvalho-Costa FA, et al. Bovine genital leptospirosis: Evidence of
1264 ovarian infection by *Leptospira interrogans*. *Vet Microbiol* 2022;109489.
1265 <https://doi.org/10.1016/j.vetmic.2022.109489>.
- 1266 [22] Bromfield JJ, Sheldon IM. Lipopolysaccharide initiates inflammation in
1267 bovine granulosa cells via the TLR4 pathway and perturbs oocyte meiotic
1268 progression *in vitro*. *Endocrinology* 2011;152(12):5029-5040. <https://doi:10.1210/en.2011-1124>.
- 1270 [23] Rincón JAA, Gindri PC, Mion B, de Ávila FG, Barbosa AA, Maffi AS, et
1271 al. Early embryonic development of bovine oocytes challenged with LPS *in vitro* or
1272 *in vivo*. *Reproduction* 2019;158(5):453-463. <https://doi:10.1530/REP-19-0316>.
- 1273 [24] Magata F, Horiuchi M, Echizenya R, Miura R, Chiba S, Matsui M, et al.
1274 Lipopolysaccharide in ovarian follicular fluid influences the steroid production in
1275 large follicles of dairy cows. *Animal Reprod Sci* 2014;144(1-2):6-13. <https://doi:10.1016/j.anireprosci.2013.11.005>.
- 1277 [25] Forrest KK, Flores VV, Gurule SC, Soto-Navarro S, Shuster CB, Gifford
1278 CA, et al. Effects of lipopolysaccharide on follicular estrogen production and
1279 developmental competence in bovine oocytes. *Anim Reprod Sci* 2022;237:106927.
1280 <https://doi.org/10.1016/j.anireprosci.2022.106927>.
- 1281 [26] Arashiro EK, Palhao MP, Wohlres-Viana S, Siqueira LG, Camargo LS,
1282 Henry M. et al. *In vivo* collection of follicular fluid and granulosa cells from
1283 individual follicles of different diameters in cattle by an adapted *ovum* pick-up
1284 system. *Reprod Biol and Endocrinol* 2013;11(1):1-8. <https://doi.org/10.1186/1477-7827-11-73>.
- 1286 [27] Hamond C, Pestana CP, Rocha-de-Souza CM, Cunha LER, Brandão
1287 FZ, Medeiros, MA, et al. Presence of leptospires on genital tract of mares with

- 1288 reproductive problems. *Vet Microbiol* 2015;179:264-269. <https://doi.org/10.1016/j.vetmic.2015.06.014>.
- 1290 [28] Larkin MA, Blackshields G, Brown NP, Chenna R, McGettigan PA,
1291 McWilliam H, et al. Clustal W and Clustal X version 2.0. *Bioinformatics*
1292 2007;23(21):2947-2948. <https://doi.org/10.1093/bioinformatics/btm404>.
- 1293 [29] Hall T. BioEdit: a user-friendly biological sequence alignment editor and
1294 analysis program for Windows95/98/NT. *Nucl Acids Symp* 1999;41:95–98.
- 1295 [30] Machado SA, Reichenbach HD, Weppert M, Wolf E, Gonçalves PBD.
1296 The variability of *ovum* pick-up response and *in vitro* embryo production from
1297 monozygotic twin cows. *Theriogenology* 2006;65(3):573-583. <https://doi.org/10.1016/j.theriogenology.2005.04.032>.
- 1299 [31] Almeida KC, Pereira AF, Alcantara Neto AS, Avelar SR, Bertolini LR,
1300 Bertolini M, et al. Real-time qRT-PCR analysis of EGF receptor in cumulus-oocyte
1301 complexes recovered by laparoscopy in hormonally treated goats. *Zygote*
1302 2011;19:127–136. <https://doi.org/10.1017/S0967199410000225>.
- 1303 [32] Bielanski A, Surujballi O, Golsteyn Thomas E, Tanaka E. Sanitary
1304 status of oocytes and embryos collected from heifers experimentally exposed to
1305 *Leptospira borgpetersenii* sorovar hardjobovis. *Anim Reprod Sci* 1998;54:65–73.
1306 [https://doi.org/10.1016/S0378-4320\(98\)00145-6](https://doi.org/10.1016/S0378-4320(98)00145-6).
- 1307 [33] Sheldon IM, Cronin J, Goetze L, Donofri G, Schuberth HJ. Defining
1308 postpartum uterine disease and the mechanisms of infection and immunity in the
1309 female reproductive tract in cattle. *Biol Reprod* 2009;81(6):1025-1032. <https://doi.org/10.1095/biolreprod.109.077370>.
- 1311 [34] Shimizu T, Miyauchi K, Shirasuna K, Bollwein H, Magata F, Murayama
1312 C, et al. Effects of lipopolysaccharide (LPS) and peptidoglycan (PGN) on estradiol

- 1313 production in bovine granulosa cells from small and large follicles. *Toxicology in*
1314 *vitro* 2012;26(7):1134-1142. <https://doi.org/10.1016/j.tiv.2012.06.014>.
- 1315 [35] Magata F. Lipopolysaccharide-induced mechanisms of ovarian
1316 dysfunction in cows with uterine inflammatory diseases. *J Reprod Dev* 2020.
1317 <https://doi.org/10.1262/jrd.2020-021>.
- 1318 [36] Bielanski AB, Surujballi O. Association of *Leptospira borgpetersenii*
1319 sorovar hardjo type hardjobovis with bovine ova and embryos produced by *in vitro*
1320 fertilization. *Theriogenology* 1996;46:45-55. [https://doi.org/10.1016/0093-691X\(96\)00140-9](https://doi.org/10.1016/0093-691X(96)00140-9).
- 1322 [37] Ferranti EM, Aloqaily BH, Gifford CA, Löest CA, Wenzel JC, Hernandez
1323 Gifford JA. Lipopolysaccharide modulation of ovarian hormonal profile. *Transl Anim
1324 Sci* 2018 Sep 27;(2 Suppl 1):S31-34. <https://doi.org/10.1093/tas/txy027>. PMID:
1325 32704732; PMCID: PMC7200988.
- 1326 [38] Sirard MA, Richard F, Blondin P, Robert C. Contribution of the oocyte to
1327 embryo quality. *Theriogenology* 2006;65:126-136. <https://doi.org/10.1016/j.theriogenology.2005.09.020>.
- 1329 [39] Ferreira EM, Vireque AA, Adona PR, Meirelles FV, Ferriani RA,
1330 Navarro, PAAS. Cytoplasmic maturation of bovine oocytes: structural and
1331 biochemical modifications and acquisition of developmental competence. *Therioge
1332 nology* 2009;71(5):836-848. <https://doi.org/10.1016/j.theriogenology.2008.10.023>.
- 1333 [40] Meirelles FV, Caetano AR, Watanabe YF, Ripamonte P, Carambula SF,
1334 Merighe GK, Garcia SM. Genome activation and developmental block in bovine
1335 embryos. *Anim Reprod Sci* 2004;82:13-20. <https://doi.org/10.1016/j.anireprosci.2004.05.012>.
- 1337 [41] Zullo G, De Canditiis C, Pero ME, Albero G, Salzano A, Neglia G, et al.
1338 Crocetin improves the quality of *in vitro*-produced bovine embryos: Implications for

- 1339 blastocyst development, cryotolerance, and apoptosis. *Theriogenology*
1340 2016;86(8):1879-1885. <https://doi.org/10.1016/j.theriogenology.2016.06.011>.
- 1341 [42] Ferré LB, Kjelland ME, Strøbech LB, Hyttel P, Mermilliod P, Ross PJ.
1342 Recent advances in bovine *in vitro* embryo production: reproductive biotechnology
1343 history and methods. *Animal* 2020;14(5):991-1004. <https://doi.org/10.1017/S17517>
1344 31119002775.
- 1345 [43] Demetrio DGB, Benedetti E, Demetrio CGB, Fonseca J, Oliveira M,
1346 Magalhaes A, et al. How can we improve embryo production and pregnancy
1347 outcomes of Holstein embryos produced *in vitro*? (12 years of practical results at a
1348 California dairy farm). *Anim Reprod* 2020;17. <https://doi.org/10.1590/1984-3143-AR2020-0053>.
- 1350 [44] Souza-Fabjan JM, Correia LF, Batista RI, Locatelli Y, Freitas VJ,
1351 Mermilliod P. Reproductive seasonality affects *in vitro* embryo production outcomes
1352 in adult goats. *Animals* 2021;11(3):873. <https://doi.org/10.3390/ani11030873>.
- 1353 [45] Trounson A, Pashett D, Maclellan L, Lewis I, Gardner D. Current status
1354 of IVM/IVF and embryo culture in humans and farm-animals. *Theriogenology*
1355 1994;41(1):57-66. [https://doi:10.1016/S0093-691X\(05\)80049-4](https://doi:10.1016/S0093-691X(05)80049-4).
- 1356 [46] Niemann H, Wrenzycki C. Alterations of expression of developmentally
1357 important genes in preimplantation bovine embryos by *in vitro* culture conditions:
1358 implications for subsequent development. *Theriogenology* 2000;53(1):21-34.
1359 [https://doi.org/10.1016/S0093-691X\(99\)00237-X](https://doi.org/10.1016/S0093-691X(99)00237-X).
- 1360 [47] Viana JHM, Siqueira LGB, Palhão MP, Camargo LDA. Use of *in vitro*
1361 fertilization technique in the last decade and its effect on Brazilian embryo industry
1362 and animal production. *Acta Sci Vet* 2010;38(2):661-674.
- 1363 [48] Rizos D, Ward F, Duffy PAT, Boland MP, Lonergan P. Consequences
1364 of bovine oocyte maturation, fertilization or early embryo development *in vitro*

1365 versus *in vivo*: implications for blastocyst yield and blastocyst quality. Mol Reprod
1366 Dev 2002;61(2):234-248. <https://doi.org/10.1002/mrd.1153>.

1367 Table 1. *In vitro* embryo production outcomes of *cumulus-oocyte complexes* (COCs) derived from follicles with either
 1368 presence (POS-FF) or absence (NEG-FF) of *Leptospira* spp. detected by PCR in the follicular fluid of naturally
 1369 infected crossbred donor dairy cows.

Endpoints	Viable COCs* (%)	Good-quality COCs* (%)	Cleavage (%)	Blast*/cleaved Blast*/viable COCs (%)
NEG-FF (n=179)	88±1.0 ^a	76±1.3	66±1.6	41±2.2 ^a
POS-FF (n=65)	93±1.6 ^b	76±2.5	63±2.6	32±3.6 ^b
P value	0.0155	0.9134	0.5741	0.0447

1370

1371 n: number of donor cows; Viable: G_I+G_{II}+G_{III} COCs; Good-quality: G_I+G_{II} COCs; Blast: Blastocyst;

1372 ^{a,b} Within a column, values with different alphabets differ significantly (P < 0.05);

1373 8 CONSIDERAÇÕES FINAIS

1374 Foi possível confirmar a infecção ovariana causada por estirpes de
1375 *Leptospira interrogans* pertencentes ao sorogrupo Sejroe, historicamente
1376 associadas a problemas reprodutivos, utilizando um grande número de amostras
1377 oriundas de vacas assintomáticas. Estes achados levantam a importância da
1378 utilização de amostras provenientes do trato genital para o diagnóstico por meio de
1379 biotécnicas moleculares na triagem da leptospirose genital bovina em animais
1380 destinados a biotecnologias da reprodução, devido ao alto custo envolvido.

1381 Nas condições do presente estudo, a presença de *Leptospira* spp. no FF de
1382 vacas naturalmente infectadas não afetou a morfologia dos COCs e sua
1383 maturação nuclear, porém, pode prejudicar a competência de desenvolvimento do
1384 ócito, dependendo do laboratório, diminuindo a eficiência global da PIVE. Esses
1385 dados mostram que foi possível utilizar a técnica de PIVE como ferramenta para
1386 avançar no entendimento dos mecanismos que levam a falhas reprodutivas.
1387 Outros estudos serão realizados para identificar se o efeito de *Leptospira* spp. no
1388 FF é direto, indireto ou ambos, bem como definir quais condições de cultivo podem
1389 mitigar o efeito de *Leptospira* spp. nessa biotecnologia da reprodução; estas
1390 definições auxiliarão na compreensão da fisiopatogenia desta bactéria em sua
1391 interação com ócitos, além de contribuir para a implementação de medidas de
1392 controle específicas.

1393

1394 9 REFERÊNCIAS BIBLIOGRÁFICAS

- 1395 ABIEC - Associação Brasileira das Indústrias Exportadoras de Carne. *Beef*
1396 *Report: Perfil da Pecuária no Brasil 2022.* Disponível em
1397 <<http://abiec.com.br/publicacoes/beef-report-2022>>. Acesso em: 26 de jan. de
1398 2023.
- 1399 ADLER, B.; DE LA PEÑA MOCTEZUMA, A. *Leptospira* and
1400 leptospirosis. *Veterinary microbiology*, v. 140, n. 3-4, p. 287-296, 2010.
- 1401 ADLER B. (eds) *Leptospira* and Leptospirosis. *Current Topics in*
1402 *Microbiology and Immunology*, vol 387. Springer, Berlin, Heidelberg, 295 p., 2015.
- 1403 ARASHIRO, E. K. N.; PALHAO, M. P., WOHLRES-VIANA, S.; et al. *In vivo*
1404 collection of follicular fluid and granulosa cells from individual follicles of different
1405 diameters in cattle by an adapted ovum pick-up system. *Reproductive Biology and*
1406 *Endocrinology*, 11, 73 - 80, 2013.
- 1407 ARASHIRO, E. K. N.; LIBONATI, H.; SANTOS, G. B. D.; et al. Repetition of
1408 estrus is the most frequent reproductive problem after breeding in dairy cattle from
1409 Rio de Janeiro, Brazil. *Ciência Rural*, 47, n. 7, e20161092, 2017.
- 1410 AVELINO, K. B. et al. *In vitro* production of embryos of cows with acquired
1411 infertility. *Theriogenology*, v.57, p.656, 2002.
- 1412 BARBOSA, C.; MARTINS, G.; LILENBAUM, W. Infectivity and virulence of
1413 leptospiral strains of serogroup Sejroe other than Hardjo on experimentally infected
1414 hamsters. *Brazilian Journal of Microbiology*, v. 50, n. 4, p. 1129-1132, 2019.
- 1415 BIELANSKI, A.; SURUJBALLI, O. Association of *Leptospira borgpetersenii*
1416 serover Hardjo type hardjobovis with bovine ova and embryos produced by *in vitro*
1417 fertilization. *Theriogenology*, v. 46, n. 1, p. 45-55, 1996.
- 1418

- 1419 BIELANSKI, A. B.; SURUJBALLI, O. *Leptospira borgpetersenii* serovar
1420 hardjo type Hardjobovis in bovine embryos fertilized *in vitro*. *Canadian Journal of*
1421 *Veterinary Research*, 62, 234-236, 1998.
- 1422 BIELANSKI, A.; SURUJBALLI, O.; THOMAS, E. G.; et al. Sanitary status of
1423 oocytes and embryos collected from heifers experimentally exposed to *Leptospira*
1424 *borgpetersenii* serovar hardjobovis. *Animal Reproduction Science*, 54, 65-73,
1425 1998a.
- 1426 BIELANSKI, A. Potencial para controle ou transmissão de doenças por meio
1427 de transferência de embriões produzidos *in vitro*: uma revisão. Em: Stringfellow
1428 DA, Givens MD (Ed.). *Manual of the International Embryo Transfer Society*. 4th ed.
1429 Champaign, IL: IETS. pp. 49-60, 2010.
- 1430 BO, G. A.; MAPLETOFT, R. J. Evaluation and classification of bovine
1431 embryos. *Animal Reproduction*, v. 10, n. 3, p. 344-348, 2018.
- 1432 BONDURANT, R. H. Venereal diseases of cattle: natural history, diagnosis,
1433 and the role of vaccines in their control. *Veterinary Clinics: Food Animal Practice*, v.
1434 21, n. 2, p. 383-408, 2005.
- 1435 BOURHY, P.; HERRMANN STORCK, C.; THEODOSE, R.; et al. Serovar
1436 diversity of pathogenic *Leptospira* circulating in the French West Indies. *PLoS*
1437 *Neglected Tropical Diseases*; 7: 2114, 2013.
- 1438 BROCK, K. Quality control for materials of animal origin used in embryo
1439 production and transfer. Pages 135–140 in *Manual of the International Embryo*
1440 *Transfer Society*. 3rd ed. D. A. Stringfellow and S. M. Seidel, ed. IETS, Savoy, IL,
1441 1998.
- 1442 BUENO, A. P.; BELTRAN, M. P. Produção *in vitro* de embriões bovinos.
1443 *Revista Científica Eletrônica de Medicina Veterinária*, v. 6, n. 11, p. 1- 7, 2008.

- 1444 CAMPOS, Â. P.; MIRANDA, D. F. H.; RODRIGUES, H. W. S.; et al.
1445 Seroprevalence and risk factors for Leptospirosis in cattle, sheep, and goats at
1446 consorted rearing from the State of Piauí, northeastern Brazil. *Tropical Animal*
1447 *Health and Production*, v. 49, n. 5, p. 899-907, 2017.
- 1448 CHAPPEL, R. J.; SMYTHE, L. D. Leptospirosis – importance of a One Health
1449 approach. *Microbiology Australia*, 1, 154-156, 2012.
- 1450 CORREIA, L.; LOUREIRO, A. P.; LILENBAUM, W. Effects of rainfall on
1451 incidental and host-maintained leptospiral infections in cattle in a tropical
1452 region. *The Veterinary Journal*, v. 220, p. 63-64, 2017.
- 1453 DEMETRIO, D. G. B.; BARFIELD, J. Appendix 2: Photographic illustrations
1454 of bovine *cumulus oocyte complexes*. In: *Manual of the International Embryo*
1455 *Technology Society*, 5th ed., 2021; p.1-7.
- 1456 DE SOUZA, N. S.; ABADE, C. C. Produção *in vitro* de embriões bovinos:
1457 etapas de produção e histórico no Brasil. *Ciência Veterinária UniFil*, v. 1, n. 3, p.
1458 95-108, 2019.
- 1459 DESVARS, A.; CARDINALE, E.; MICHAULT, A. Animal leptospirosis in
1460 small tropical areas. *Epidemiology and Infection*, 139, 167–188, 2011.
- 1461 DHALIWAL, G. S.; MURRAY, R. D.; DOBSON, H.; et al. Presence of
1462 antigen and antibodies in serum and genital discharges of cows from dairy herds
1463 naturally infected with *Leptospira interrogans* serovar hardjo. *Research in*
1464 *veterinary science*, v. 60, n. 2, p. 163- 167, 1996.
- 1465 DIAS, L. P. B.; SÁ, W. F.; CAMARGO, L. S. A.; et al. Concentração
1466 espermática e tempo de incubação na fecundação *in vitro* usando-se sêmen de
1467 touros da raça Guzerá. *Arquivo Brasileiro de Medicina Veterinária e Zootecnia*, v.
1468 58, n. 3, p. 348-353, 2006.
- 1469 DI AZEVEDO, M. I. N.; PIRES, B. C.; LIBONATI, H.; et al. Extra-renal
1470 bovine leptospirosis: Molecular characterization of the *Leptospira interrogans*

- 1471 Sejroe serogroup on the uterus of non-pregnant cows. *Veterinary Microbiology*,
1472 250, 108869, 2020.
- 1473 DI AZEVEDO, M. I. N.; PIRES, B. C.; BARBOSA, L. F. C.; et al.
1474 Characterization of leptospiral DNA in the follicular fluid of non-pregnant cows.
1475 *Vetetinal Record*; e134, 2021.
- 1476 DIRECTOR, A.; PENNA, B.; HAMOND, C.; et al. Isolation of *Leptospira*
1477 *interrogans* Hardjoprajitno from vaginal fluid of a clinically healthy ewe suggests
1478 potential for venereal transmission. *Journal of Medical Microbiology*, v. 63, n. 9, p.
1479 1234-1236, 2014.
- 1480 ELLIS, W. A. Animal leptospirosis. *Current Topics in Microbiology and*
1481 *Immunology*, 387, 99-137, 2015.
- 1482 ELLIS, W. A. Bovine leptospirosis: microbiological and serological findings in
1483 aborted fetuses. *The Veterinary Record*, 110(7), 147-150, 1982.
- 1484 ELLIS W. A.; THIERMANN A. B. Isolation of leptospires from the genital
1485 tracts of Iowa cows. *American Journal of Veterinary Research*, Aug; 47(8):1694-
1486 1696, 1986.
- 1487 FÁVERO, J. F.; DE ARAÚJO, H. L.; LILENBAUM, W.; et al. Bovine
1488 leptospirosis: Prevalence, associated risk factorsfor infection and their cause-effect
1489 relation. *Microbial pathogenesis*, v. 107, p. 149-154, 2017.
- 1490 FERREIRA, S. B.; SOUSA, K. R. S.; CASTRO, V.; et al. Análise
1491 soroepidemiológica e fatores de risco associados à *Leptospira* spp. em bovinos no
1492 estado do Piauí. *Acta Scientiae Veterinariae*, v. 45, p. 1-11, 2017.
- 1493 GÓES, A. C.; PICCOLOMINI, M. M.; PAVÃO, D. L.; et al. Assessment of
1494 trypsin and antibiotic treatment effectiveness in *in vitro*-matured oocytes
1495 experimentally exposed to *Leptospira interrogans* serovar Grippotyphosa.
1496 *Reproduction, Fertility and Development*, v.22, n. 1, p. 294-294, 2009.

- 1497 GÓES, A. C.; PICCOLOMINI, M. M.; CASTRO, V.; ET al. Eficácia dos
1498 tratamentos estabelecidos pelo Manual da IETS, em oócitos, expostos à
1499 *Leptospira interrogans*. *Arquivo Brasileiro de Medicina Veterinária e Zootecnia*, v.
1500 64, n. 1, p. 108-113, 2012.
- 1501 GONÇALVES, P. B. D.; BARRETA, M. H.; SANDRI, L. R.; ET al. Produção
1502 *in vitro* de embriões bovinos: o estado da arte. *Revista Brasileira de Reprodução
1503 Animal*. v.31, p.212-217, 2007.
- 1504 GUEDES, I. B.; DE ALMEIDA ARAÚJO, S. A.; DE SOUZA, G. O.; et al.
1505 Circulating *Leptospira* species identified in cattle of the Brazilian Amazon. *Acta
1506 tropica*, v. 191, p. 212-216, 2019.
- 1507 HAMOND, C.; MARTINS, G.; LOUREIRO, A. P.; et al. Urinary PCR as an
1508 increasingly useful tool for an accurate diagnosis of leptospirosis in livestock.
1509 *Veterinary Research Communication*. 38, 81–85. 2014.
- 1510 HOLM, P.; BOOTH, P. J.; CALLESEN, H. Kinetics of early *in vitro*
1511 development of bovine *in vivo*-and *in vitro*-derived zygotes produced and/or cultured
1512 in chemically defined or serum-containing media. *Reproduction-Cambridge*, v. 123,
1513 n. 4, p. 553-565, 2002.
- 1514 KARPAGAM, K. B.; GANESH, B. Leptospirosis: a neglected tropical
1515 zoonotic infection of public health importance—an updated review. *European
1516 Journal of Clinical Microbiology e Infectious Diseases*, p. 1-12, 2020.
- 1517 LIBONATI, H. A.; SANTOS, G. B.; SOUZA, G. N.; et al. Leptospirosis is
1518 strongly associated to estrus repetition on cattle. *Tropical Animal Health and
1519 Production*, v. 50, n. 7, p. 1625- 1629, 2018.
- 1520 LILENBAUM, W.; SOUZA, G. N. Factors associated with bovine
1521 leptospirosis in Rio de Janeiro, Brazil. *Research in Veterinary Science*, 75, 249–
1522 251, 2003.

- 1523 LIMA, I. M. T.; SOUZA, A. L. Desenvolvimento e sobrevivência de embriões
1524 no período de pré-implantação: enfoque em ruminantes. *Revista Brasileira de*
1525 *Reprodução Animal*, [s.l.], v. 33, p.194-202, 2009.
- 1526 LOIOLA, M. V. G.; RODRIGUES, A. S.; CHALHOUB, M.; et al. Proporção do
1527 sexo na produção *in vitro* de embriões bovinos. *Archives of Veterinary Science*, v.
1528 20, n. 2, 2015.
- 1529 LOUREIRO, A. P.; MARTINS, G.; THOMÉ, S.; et al. Laboratorial
1530 diagnosis of animal leptospirosis. *Revista Brasileira de Ciência Veterinária*, v. 20,
1531 n. 3, 2013.
- 1532 LOUREIRO, A. P.; HAMOND, C.; PINTO, P.; et al. Molecular analysis of
1533 leptospires from serogroup Sejroe obtained from asymptomatic cattle in Rio de
1534 Janeiro—Brazil reveals genetic proximity to serovar Guaricura. *Research in*
1535 *Veterinary Science*, v. 105, p. 249- 253, 2016.
- 1536 LOUREIRO, A. P.; PESTANA, C.; MEDEIROS, M. A.; et al. High frequency
1537 of leptospiral vaginal carriers among slaughtered cows. *Animal Reproduction*
1538 *Science*, 178, 50-54, 2017.
- 1539 LOUREIRO, A. P.; LILENBAUM, W. Genital bovine leptospirosis: A new look
1540 for an old disease. *Theriogenology*, 141, 41-47, 2020.
- 1541 LUEDKE, F. E.; LAVACH, F. L.; CASSANTA, F. G.; et al. Aspectos da
1542 produção *in vitro* de embriões bovinos no Brasil – revisão. *Pesquisa Agropecuária*
1543 *Gaúcha*, 25(1/2), 120-132. 2019.
- 1544 LUSTOSA, A. A.; BARBOZA, N. A.; BARBOSA, Y. G. D. S.; et al. Aspectos
1545 relevantes na produção comercial de embriões bovinos por meio da técnica
1546 biotecnológica de fertilização *in vitro*: Revisão. *PUBVET*, v. 12, p. 130, 2017.
- 1547 MARTINS, G.; PENNA, B.; LILENBAUM, W. Differences between
1548 seroreactivity to leptospirosis in dairy and beef cattle from the same herd in Rio de

- 1549 Janeiro, Brazil. *Tropical Animal Health and Production*, v. 44, n. 3, p. 377-378,
1550 2012.
- 1551 MARTINS, G.; LILENBAUM, W. Comments of environmental conditions for
1552 the maintenance of *Leptospira* in tropical scenarios. *Current Microbiology*. 71, 624-
1553 625, 2015.
- 1554 MONAHAN, A. M.; CALLANAN, J. J.; NALLY, J. E. Host-pathogen
1555 interactions in the kidney during chronic leptospirosis. *Veterinary pathology*, v. 46,
1556 n. 5, p. 792-799, 2009.
- 1557 OIE. Manual of diagnostic tests and vaccines for terrestrial animals. 7 ed.
1558 Paris: *World Organization for Animal Health*; 2012.
- 1559 OLIVEIRA, F. S.; OLIVEIRA, D.; MARTINS FILHO, E. F.; et al. Avaliação
1560 histológica e imuno-histoquímica da colonização vaginal por *Leptospira* em vacas
1561 com fluido vaginal positivo à PCR. *Revista Brasileira de Medicina Veterinária*, v. 38
1562 (Supl.1), p. 163-167, 2016.
- 1563 PENNA, B.; MARASSI, C. D.; LIBONATI, H.; et al. Diagnostic accuracy of
1564 an in-house ELISA using the intermediate species *Leptospira fainei* as antigen for
1565 diagnosis of acute leptospirosis in dogs. *Comparative Immunology, Microbiology
1566 and Infectious Diseases*, v. 50, p. 13-15, 2017.
- 1567 PIRES, B. C.; GRAPIGLIA, J. B.; MOREIRA, L.; et al. Occurrence of uterine
1568 carriers for *Leptospira interrogans* on slaughtered cows. *Microbial Pathogenesis*,
1569 114, 163-165, 2018.
- 1570 RAMOS, A. D. A.; CAMARGO, L. S. D. A.; SÁ, W. F. D.; et al. Fecundação
1571 *in vitro* com sêmen de bovinos da raça Gir. *Arquivo Brasileiro de Medicina
1572 Veterinária e Zootecnia*, v. 52, n. 4, p. 360-365, 2000.
- 1573 RINEHART, C. L.; ZIMMERMAN, A. D.; BUTERBAUGH, R. E.; et al.
1574 Efficacy of vaccination of cattle with the *Leptospira interrogans* serovar *hardjo* type

- 1575 hardjoprajitno component of a pentavalent *Leptospira* bacterin against
1576 experimental challenge with *Leptospira borgpetersenii* serovar *hardjo* type hardjo-
1577 bovis. *American Journal of Veterinary Research*, v. 73, n. 5, p. 735-740, 2012.
- 1578 RISTOW, P.; LILENBAUM, W. Leptospirose: atualização e perspectivas.
1579 *Microbiologia in foco*, São Paulo, ano, v. 3, p. 17-27, 2010.
- 1580 ROCHA, B. R.; BALARO, M.; PEREIRA, P. V.; et al. Chronic experimental
1581 genital leptospirosis with autochthonous *Leptospira santarosai* strains of serogroup
1582 Sejroe. *Small Ruminant Research*, v. 164, p. 28-31, 2018.
- 1583 RODRIGUES, C. F. M.; GARCIA, J. M. Fecundação *in vitro* em bovinos:
1584 aplicação comercial. *Arq. Fac. Vet. UFRGS Supl.*, v.28, p.186-187, 2000.
- 1585 SALGADO, M.; OTTO, B.; SANDOVAL, E.; et al. A cross sectional
1586 observational study to estimate herdlevel risk factors for *Leptospira* spp. serovars
1587 in small holder dairy cattle farms in southern Chile. *BMC Veterinary Research* 10,
1588 126. 2014.
- 1589 SÁNCHEZ, G. P.; DE LEMOS, F. A.; PAIXÃO-MARQUES, M. D. S.; et al.
1590 Complete diagnosis of leptospirosis in tropical reproductive cattle. *BioRxiv*, p.
1591 327726, 2018.
- 1592 SANGILD, P. T.; SCHMIDT, M.; JACOBSEN, H. et al. Blood chemistry,
1593 nutrient metabolism, and organ weights in fetal and newborn calves derived from *in*
1594 *vitro* produced bovine embryos. *Biology of Reproduction*, v.62, p.1495-1504, 2000.
- 1595 SARMENTO, A.; AZEVEDO, S. S.; MORAIS, Z. M.; et al. Emprego de
1596 estirpes *Leptospira* spp. isoladas no Brasil na microtécnica de soroaglutinação
1597 microscópica aplicada ao diagnóstico da leptospirose em rebanhos bovinos de oito
1598 estados brasileiros. *Pesq Vet Bras*, 32, 601-606, 2012.
- 1599 SCANAVEZ, A. L.; CAMPOS, C. C.; SANTOS, R. M. Taxa de prenhez e de

- 1600 perda de gestação em receptoras de embriões bovinos produzidos *in vitro*. *Arquivo*
1601 *Brasileiro de Medicina Veterinária e Zootecnia*, v. 65, n. 3, p. 722-728, 2013.
- 1602 SHAKED, Y.; SHPILBERG, O.; SAMRA, D.; et al. Leptospirosis in
1603 pregnancy and its effect on the fetus: case report and review. *Clinical Infectious*
1604 *Diseases*, v. 17, n. 2, p. 241-243, 1993.
- 1605 SOUZA-FABJAN, J. M. G.; PANNEAU, B.; DUFFARD, N.; et al. *In vitro*
1606 production of small ruminant embryos: Late improvements and further research.
1607 *Theriogenology*, 81, 1149-1162, 2014.
- 1608 STODDARD, R. A.; GEE, J. E.; WILKINS, P. P.; et al. Detection of
1609 pathogenic *Leptospira* spp. through TaqMan polymerase chain reaction targeting
1610 the lipL32 gene, *Diagnostic Microbiology Infectious Disease*. 64 - 247–255. 2009.
- 1611 STRINGFELLOW, D. A.; GIVENS, M. D. Infectious agents in bovine embryo
1612 production: hazards and solutions. *Theriogenology*, v. 53, n. 1, p. 85-94, 2000.
- 1613 THIBEAUX, R.; IRAOLA, G.; FERRÉS, I.; et al. Deciphering the unexplored
1614 *Leptospira* diversity from soils uncovers genomic evolution to virulence. *Microbial*
1615 *Genomics*; 4(1), 2018.
- 1616 VAN SOOM, A.; NAUWYNCK, H.; WRATHALL, A. Fundamentos científicos
1617 para a segurança epidemiológica da transferência de embriões. In:
1618 STRINGFELLOW, D.A.; GIVENS, M.D. *Manual of the International Embryo Transfer*
1619 *Society (IETS)*. 4th ed. Champaign, IL: IETS, 2010.
- 1620 VARAGO, F. C.; MENDONÇA, L. F.; LAGARES, M. A. Produção *in vitro* de
1621 embriões bovinos: estado da arte e perspectiva de uma técnica em constante
1622 evolução. *Revista Brasileira de Reprodução Animal*. Belo Horizonte, v. 36, p. 100-
1623 109, 2008.
- 1624 VIANA, J. 2021 Statistics of embryo production and transfer in domestic
1625 farm animals. In: *Embryo Technology Newsletter*, v. 40, n. 4, 2022.

- 1626 VINCENT, A. T.; SCHIETTEKATTE, O.; GOARANT, C.; et al. Revisiting the
1627 taxonomy and evolution of pathogenicity of the genus *Leptospira* through the prism
1628 of genomics. *PLoS neglected tropical diseases*, v. 13, n. 5, p. e0007270, 2019.
- 1629 VINODH, R.; RAJ, G. D.; GOVINDARAJAN, R.; et al. Detection of
1630 *Leptospira* and *Brucella* genomes in bovine semen using polymerase chain reaction.
1631 *Tropical Animal Health and Production*, 40, 323- 329, 2008.
- 1632 WAGGONER, J. J.; PINSKY, B. A. Molecular diagnostics for human
1633 leptospirosis. *Curr Opin Infect Dis*, 29, 440–445, 2016.
- 1634 WANG, W.; GAO, X.; GUO, M.; et al. *Leptospira interrogans* induces uterine
1635 inflammatory responses and abnormal expression of extracellular matrix proteins in
1636 dogs, *Microb. Pathog.* 75 1–6, 2014.
- 1637 WORLD HEALTH ORGANIZATION (WHO). Report of the first meeting of
1638 leptospirosis burden epidemiology reference group. Geneva: p.1-34, 2010.
- 1639 YANG, W. C.; YANG, L. G.; RIAZ, H.; et al. Effects in cattle of genetic
1640 variation within the IGF1R gene on the superovulation performance and pregnancy
1641 rates after embryo transfer. *Animal Reproduction Science*, 143, 24- 29, 2013.
- 1642 ZARANTONELLI, L.; SUANES, A.; MENY, P.; et al. Isolation of pathogenic
1643 *Leptospira* strains from naturally infected cattle in Uruguay reveals high serovar
1644 diversity, and uncovers a relevant risk for human leptospirosis. *PLOS Neglected
1645 Tropical Diseases*, 12, p.e0006694, 2018.
- 1646 ZHU, J.; MOAWAD, A. R.; WANG, C. Y.; et al. Advances in *in vitro*
1647 production of sheep embryos. *International Journal of Veterinary Science and
1648 Medicine*, S6; S15-S26, 2018.
- 1649
- 1650

1651 10 ANEXOS


uff

 Universidade
Federal
Fluminense

ceua
 Comissão de Ética no Uso de Animais

CERTIFICADO

Certificamos que a proposta intitulada "Impacto da leptospirose bovina na eficiência da produção in vitro de embriões", protocolada sob o CEUA nº 8688190919 (ID 000820), sob a responsabilidade de **Joanna Maria Gonçalves de Souza Fabjan** - que envolve a produção, manutenção e/ou utilização de animais pertencentes ao filo Chordata, subfilo Vertebrata (exceto o homem), para fins de pesquisa científica ou ensino - está de acordo com os preceitos da Lei 11.794 de 8 de outubro de 2008, com o Decreto 6.899 de 15 de julho de 2009, bem como com as normas editadas pelo Conselho Nacional de Controle da Experimentação Animal (CONCEA), e foi **aprovada** pela Comissão de Ética no Uso de Animais da Universidade Federal Fluminense (CEUA/UFF) na reunião de 09/04/2020.

We certify that the proposal "Impact of bovine leptospirosis on efficiency of in vitro embryo production", utilizing 120 Bovines (120 females), protocol number CEUA 8688190919 (ID 000820), under the responsibility of **Joanna Maria Gonçalves de Souza Fabjan** - which involves the production, maintenance and/or use of animals belonging to the phylum Chordata, subphylum Vertebrata (except human beings), for scientific research purposes or teaching - is in accordance with Law 11.794 of October 8, 2008, Decree 6899 of July 15, 2009, as well as with the rules issued by the National Council for Control of Animal Experimentation (CONCEA), and was **approved** by the Ethic Committee on Animal Use of the Federal University Fluminense (CEUA/UFF) in the meeting of 04/09/2020.

 Finalidade da Proposta: **Pesquisa (Acadêmica)**

Vigência da Proposta: de 05/2020 a 04/2023 Área: Medicina Veterinária

 Origem: **Animais de proprietários**

 sexo: **Fêmeas**

 idade: **2 a 5 anos**

 N: **120**

 Espécie: **Bovinos**

 Peso: **350 a 600 kg**

 Linhagem: **Nelore**

Local do experimento: O estudo será realizado em diferentes unidades da Universidade Federal Fluminense e em duas outras fazendas, Fazenda Floresta e Fazenda Providência, localizadas em Palma, MG. As coletas de sangue, urina, muco cérvico-vaginal, fluido folicular e ócitos serão realizadas na Fazenda Escola de Cachoeiras de Macacu (FECM), localizada em Cachoeiras de Macacu, RJ e em demais fazendas da região. As análises da qualidade dos ócitos, a produção in vitro de embriões e criopreservação serão conduzidas no Setor de Reprodução Animal da Faculdade de Veterinária em Niterói, RJ. As análises moleculares e microbiológicas serão realizadas no Laboratório de Bacteriologia do Instituto Biomédico em Niterói

Niterói, 27 de junho de 2020

Profª Carla Eponina
Coordenadora da Comissão de Ética no Uso de Animais
Universidade Federal Fluminense

Profª Caroline de Souza Barros
Vice-Cordenadora da Comissão de Ética no Uso de Animais
Universidade Federal Fluminense

1654



Universidade
Federal
Fluminense

PROPP/UFGD

Pró-Reitoria de Pesquisa, Pós-graduação e Inovação

ceua
Comitê de Ética no Uso de Animais

Niterói, 10 de junho de 2021
CEUA N 8688190919

Ilmo(a). Sr(a).

Responsável: Joanna Maria Gonçalves De Souza Fabjan
Área: Medicina Veterinária

Título da proposta: "Impacto da leptospirose bovina na eficiência da produção in vitro de embriões".

Parecer Consustanciado da Comissão de Ética no Uso de Animais UFF (ID 000190)

A Comissão de Ética no Uso de Animais da Universidade Federal Fluminense, no cumprimento das suas atribuições, analisou e **APROVOU** a Emenda (versão de 09/abril/2021) da proposta acima referenciada.

Resumo apresentado pelo pesquisador: "Este estudo tem como objetivo avaliar o impacto da leptospirose bovina na eficiência da produção in vitro de embriões. Inicialmente, acreditávamos que o N amostral de 120 vacas apresentado no projeto de pesquisa aprovado pelo CEUA/UFG seria suficiente. Apesar do avanço do projeto, o grupo de pesquisa verificou a necessidade de aumentar o número de fêmeas bovinas de 120 para 300. Esse aumento é justificado a partir de um levantamento realizado em diferentes rebanhos do estado do Rio de Janeiro, constatando que aproximadamente 21% dos indivíduos avaliados foram positivos para Leptospirose pela técnica da Reação em Cadeia da Polimerase (PCR) (HAMOND et al., 2014). A partir disto, se torna necessário aumentar o N amostral para obter maior quantidade de amostras positivas, de forma a melhorar a qualidade das análises estatísticas realizadas e trazer maior fidedignidade e relevância ao estudo. Ademais, será necessário incluir 10 machos bovinos para a realização do experimento 5 descrito no documento em anexo. Desta forma serão necessários 10 machos e 300 fêmeas totalizando 310 animais para realização do projeto.".

Comentário da CEUA: "".

Profª Carla Eponina C. Paula
Coordenadora da Comissão de Ética no Uso de Animais
Universidade Federal Fluminense

Profª Caroline de Souza Barros
Vice-Cordenadora da Comissão de Ética no Uso de Animais
Universidade Federal Fluminense